

# Měsíční zpráva

Počasí, voda a ovzduší v ČR

Únor 2025

*Mgr. Šimon Kolář (Oddělení operativní služby)*

*Lenka Stašová (Oddělení všeobecné klimatologie)*

*Veronika Šustková (Oddělení meteorologie a klimatologie Ostrava)*

*Ing. Lukáš Urban (Oddělení hydrologických předpovědí)*

*Anna Lamačová, Radek Vlnas (Oddělení podzemních vod)*

*Hana Škáchová (Informační systém kvality ovzduší)*

# Obsah

<b>Únor 2025 na území ČR.....</b>	<b>3</b>
<b>1      Synoptická situace .....</b>	<b>4</b>
<b>2      Klimatologické hodnocení .....</b>	<b>5</b>
2.1    Teplota vzduchu .....	5
2.2    Srážky .....	7
2.3    Sluneční svit .....	9
<b>3      Hydrologická situace.....</b>	<b>10</b>
3.1    Povrchové vody .....	10
3.2    Podzemní vody.....	16
<b>4      Kvalita ovzduší.....</b>	<b>24</b>
4.1    Rozptylové podmínky .....	24
4.2    Suspendované částice PM <sub>10</sub> .....	25
4.3    Suspendované částice PM <sub>2,5</sub> .....	28
4.4    Ostatní látky .....	31
4.5    Index kvality ovzduší.....	33
4.6    Smogový a varovný regulační systém .....	34

# ÚNOR 2025 NA ÚZEMÍ ČR

Únor 2025 na území ČR byl teplotně normální a srážkově silně podnormální. Průměrná měsíční teplota vzduchu na území ČR  $-0,9$  °C byla o  $0,5$  °C nižší než normál 1991–2020. Měsíční úhrn srážek  $11$  mm představuje  $30$  % normálu 1991–2020. Průměrná délka slunečního svitu pro území ČR byla tento měsíc  $112,4$  hodiny, což činí  $144$  % normálu.

V první polovině měsíce se teplota pohybovala blízko hodnot normálu. Od 14. února se výrazně ochladilo a teploty se držely pod hodnotou normálu až do 22. února. Konec měsíce byl opět teplý. Nejchladnější den z celého měsíce byl 19. únor, kdy minima teploty vzduchu na našem území na více než 50 stanicích byla  $-15$  °C a méně.

Srážkové úhrny byly regionálně velmi rozdílné. Nejméně srážek spadlo v severovýchodní části republiky, a to zejména v krajích Pardubickém a Olomouckém, kde srážkové úhrny nedosáhly ani  $20$  % normálu 1991–2020. Letošní únor se dle úhrnů srážek zaznamenaných na území ČR v období od roku 1961 řadí jako 4. nejsušší.

Únor byl z hlediska odtoku ve většině povodí převážně podprůměrným měsícem. Nejvíce vody oteklo Odrou a Dyjí, naopak nejméně oteklo Olší. Na začátku měsíce byly průtoky převážně průměrné v širokém rozmezí, v průběhu měsíce se však snižovaly a ke konci měsíce byly již podprůměrné až na hranici hydrologického sucha. Na menších, převážně horských tocích, se přechodně objevily ledové jevy. 1. SPA byl jen krátkodobě dosažen na Kočovském potoce ve Valšově a vlivem manipulace také na Bělé v Boskovicích pod přehradou ( $Q_{>2}$ ).

Hladina v mělkém oběhu poklesla a stav se zhoršil z mírně nadnormálního na normální. Vydatnost se mírně zmenšila, ale zůstala celkově normální. Stav hladiny hlubokých vrtů zůstal normální.

Z hlediska rozptylových podmínek je únor, v porovnání s 30letým průměrem 1991–2020, hodnocen jako měsíc s výrazně horšími rozptylovými podmínkami. Během února byla na měřicích stanicích převážně velmi dobrá až dobrá kvalita ovzduší. Únorová hodnota celorepublikových měsíčních průměrů koncentrací  $PM_{10}$  a  $PM_{2,5}$  byla v roce 2025 třetí nejvyšší za období 2015–2025.

**Níže uvedené údaje jsou pouze předběžné a mohou se ještě měnit, neboť data nebyla kompletně verifikována. Z důvodů procesu zpracování dat jsou do měsíčních hodnocení zahrnuta pouze neverifikovaná data z automatizovaných stanic.**

# 1 SYNOPTICKÁ SITUACE<sup>1</sup>

V únoru 2025 převažovala v prostoru Atlantik – Evropa smíšená cirkulace. Jen krátkodobě v délce pěti dnů v polovině února se jednalo o meridionální cirkulaci spojenou ve střední Evropě se studeným severním prouděním a celodenními mrazy. Zonální cirkulace se v únoru vyskytla začátkem druhé dekády a v polovině třetí únorové dekády. V ostatních únorových dnech se jednalo převážně o smíšenou cirkulaci.

Počasí ve střední Evropě v první polovině první únorové dekády ovlivnila rozsáhlá tlaková výše se středem nad střední Evropou. V polovině dekády nás od severozápadu ovlivnila slábnoucí studená fronta. Za ní se z oblasti Britských ostrovů do Skandinávie rozšířila mohutná tlaková výše, kolem které k nám postupně pronikal chladný vzduch od severovýchodu, v závěru dekády pak ve vyšších vrstvách atmosféry postupně i teplejší vzduch od jihovýchodu.

Počátkem první poloviny druhé únorové dekády počasí ve střední Evropě stále ovlivňovala mohutná tlaková výše nad Skandinávií. Vliv tlakové výše nad Skandinávií postupně zeslábl a počasí u nás ovlivnila tlaková níže nad západní Evropou a s ní spojená postupující teplá fronta. Tlaková níže postoupila ze západní Evropy přes naše území dále k severovýchodu. V polovině druhé únorové dekády k nám v jejím týlu mezi mohutnou blokující tlakovou výší nad východním pobřežím Grónska a tlakovou níží nad severovýchodní Evropou začal pronikat velmi studený původem arktický vzduch od severu. V oblasti střední Evropy postupně vznikla další mohutná tlaková výše, která se v závěru druhé únorové dekády přesunula nad východní Evropu a kolem které k nám postupně začal proudit zejména ve vyšších vrstvách atmosféry teplejší vzduch od jihu.

Třetí únorová dekáda zpočátku byla pod vlivem přílivu teplejšího vzduchu od jihu ve vyšších vrstvách atmosféry, a to kolem tlakové výše nad východní Evropou. Od západu počasí ve střední Evropě postupně ovlivnil slábnoucí frontální systém a posléze i slábnoucí studená fronta spojené s hlubokou tlakovou níží nad Islandem. Jen přechodně nás ovlivnil od jihozápadu nevýrazný výběžek vyššího tlaku vzduchu. V polovině třetí únorové dekády začala počasí ve střední Evropě ovlivňovat postupující brázda nízkého tlaku vzduchu, která byla spojena s tlakovou níží nad jihozápadní, postupně i jižní Evropou. V závěru února postoupila z oblasti Britských ostrovů přes Severní moře a severní Německo dále k východu tlaková níže - s ní spojena studená fronta postupně od západu ovlivnila počasí u nás.

---

<sup>1</sup> proudění meridionální je proudění ve směru podél poledníků, tj. od severu k jihu nebo naopak  
proudění zonální je proudění vzduchu podél rovnoběžek ve směru západ-východ  
proudění vzduchu podél rovnoběžek ve směru východ-západ se většinou označuje jako východní (negativní) zonální proudění  
<http://slovník.cmes.cz>

## 2 KLIMATOLOGICKÉ HODNOCENÍ

### 2.1 Teplota vzduchu

Únor 2025 hodnotíme jako teplotně normální měsíc. Průměrná měsíční teplota vzduchu na území ČR  $-0,9\text{ °C}$  byla o  $0,5\text{ °C}$  nižší než normál 1991–2020 (Obr. 2.1.1, Obr. 2.1.2). Chladnější dle průměrné teploty vzduchu byl naposledy únor 2018 s průměrnou teplotou  $-3,5\text{ °C}$  a jednalo se o jediný chladnější únor v posledních deseti letech, podobně chladný byl pak únor roku 2021. Vůbec nejnižší únorová teplota ( $-7,8\text{ °C}$ ) byla zaznamenána v roce 1986 a naopak nejvyšší ( $+5,7\text{ °C}$ ) v loňském extrémně teplém únoru 2024. Na území Čech byla průměrná měsíční teplota vzduchu ( $-1,0\text{ °C}$ ) o  $-0,2\text{ °C}$  nižší než na území Moravy a Slezska ( $-0,8\text{ °C}$ ).

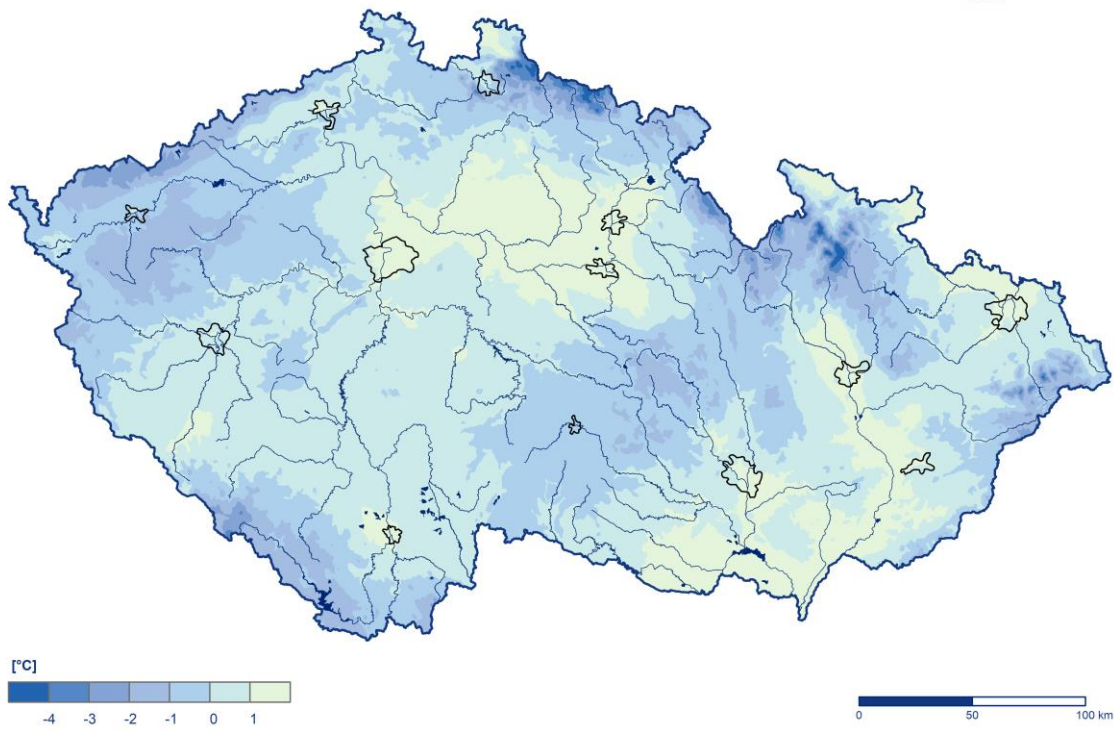
V první polovině měsíce se teplota pohybovala blízko hodnot normálu. Nejchladnější den z tohoto období byl 3. únor s odchylkou průměrné denní teploty na území ČR od normálu  $-1,6\text{ °C}$  a nejteplejší 6. únor s odchylkou  $+1,8\text{ °C}$  od normálu. Od 14. února se výrazně ochladilo a průměrná denní teplota vzduchu se až do 22. února držela pod hodnotou normálu. Nejvyšší záporná odchylka průměrné denní teploty vzduchu na území ČR od normálu byla ve dnech 17. až 19. února, a to více než  $-6,3\text{ °C}$ . V těchto dnech byl na mnoha stanicích zaznamenán celodenní mráz. Od 23. února až do konce měsíce se průměrné denní teploty vzduchu pohybovaly nad hodnotou normálu (Obr. 2.1.3).

Nejteplejší dny z celého měsíce byly 25. a 26. únor s odchylkou průměrné denní teploty vzduchu na území ČR od normálu  $+3,4\text{ °C}$  a  $+3,6\text{ °C}$ . Nejvyšší hodnota maximální denní teploty vzduchu v tomto měsíci byla naměřena dne 24. února na stanici České Budějovice, Rožnov, a to  $15,2\text{ °C}$ . Dosud historicky nejvyšší únorová maximální denní teplota vzduchu  $22,0\text{ °C}$  byla naměřena dne 27. února 1994 na stanici Český Krumlov.

Nejnižší minimální denní teplota vzduchu  $-28,7\text{ °C}$  byla v tomto měsíci naměřena 18. února na stanici Kořenov, Jizerka (okres Jablonec nad Nisou). Pokud uvažujeme i stanice mimo standardní síť ČHMÚ, nejnižší minimální denní teplota vzduchu  $-30,8\text{ °C}$  byla naměřena ve stejný den na stanici Kořenov, Jizerka, Horní Jizera (okres Jablonec nad Nisou). Historicky nejnižší únorová minimální denní teplota vzduchu  $-42,2\text{ °C}$  byla naměřena 11. února 1929 na stanici Litvínovice u Českých Budějovic.

**Průměrná měsíční teplota vzduchu v únoru 2025**

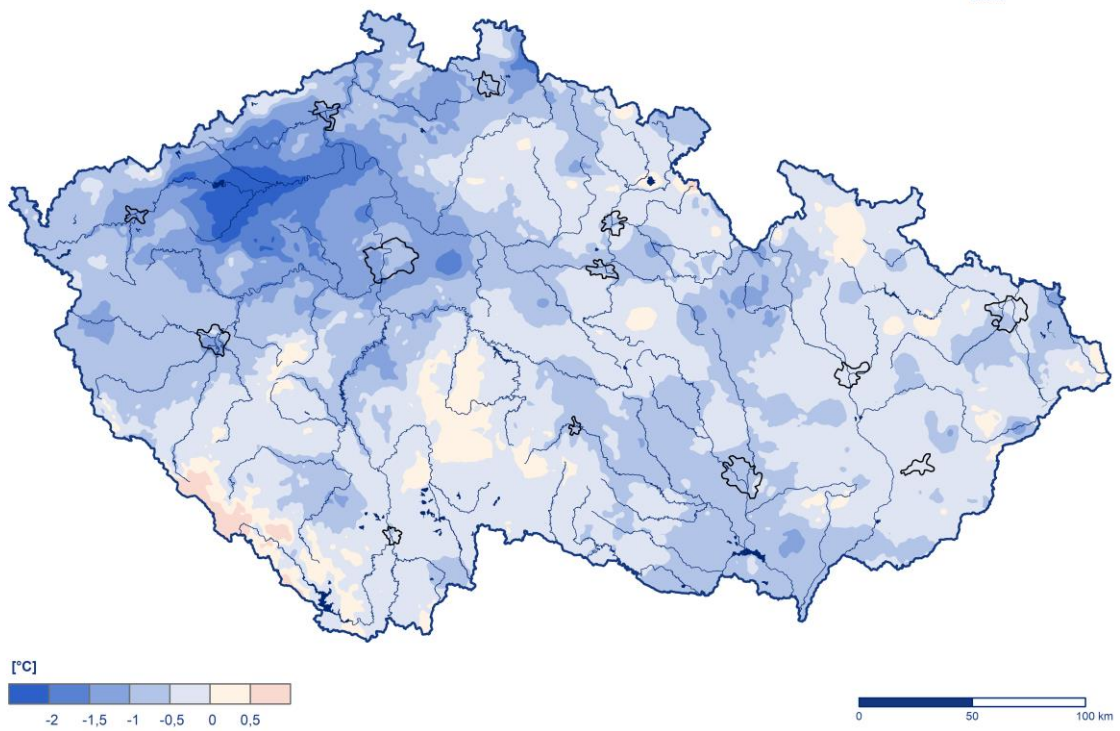
Český  
hydrometeorologický  
ústav



Obr. 2.1.1 Průměrná měsíční teplota vzduchu na území ČR v únoru 2025

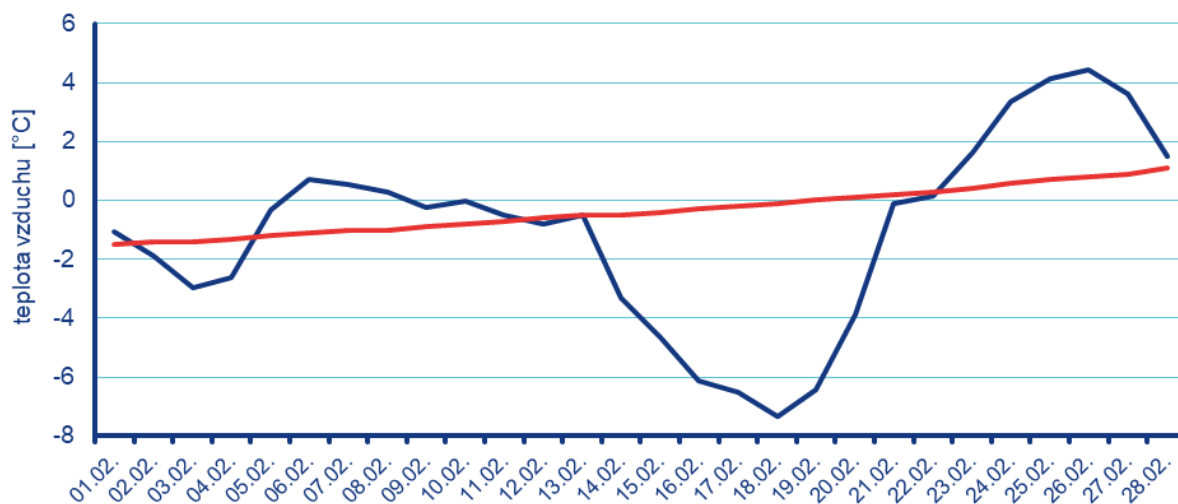
**Odchylka průměrné měsíční teploty vzduchu v únoru od normálu 1991–2020**

Český  
hydrometeorologický  
ústav



Obr. 2.1.2 Odchylka průměrné měsíční teploty vzduchu od normálu 1991–2020 na území ČR v únoru 2025





Obr. 2.1.3 Průběh průměrné denní teploty vzduchu na území ČR v únoru 2025 ve srovnání s normálem 1991–2020

## 2.2 Srážky

Srážkově byl letošní únor na území ČR silně podnormální, průměrný měsíční úhrn srážek 11 mm představuje 30 % normálu 1991–2020 (Obr. 2.2.1, Obr. 2.2.2). Jednalo se o 4. nejsušší únor v období od roku 1961. Méně srážek v únoru jsme zaznamenali pouze v letech 1982, 2011 a 2014.

V Čechách spadlo v průměru 12 mm srážek (32 % normálu) a na Moravě a ve Slezsku spadlo v průměru 8 mm srážek (22 % normálu). Nejvíce srážek v porovnání s normálem 1991–2020 (více než 40 % normálu) spadlo v krajích Plzeňském, Praze a Středočeském a Ústeckém. Nejméně srážek v porovnání s normálem spadlo v krajích Pardubickém (13 % normálu) a Olomouckém (15 % normálu). V krajích Královéhradeckém, Vysočina, Moravskoslezském a Zlínském spadlo shodně 20 % normálu.

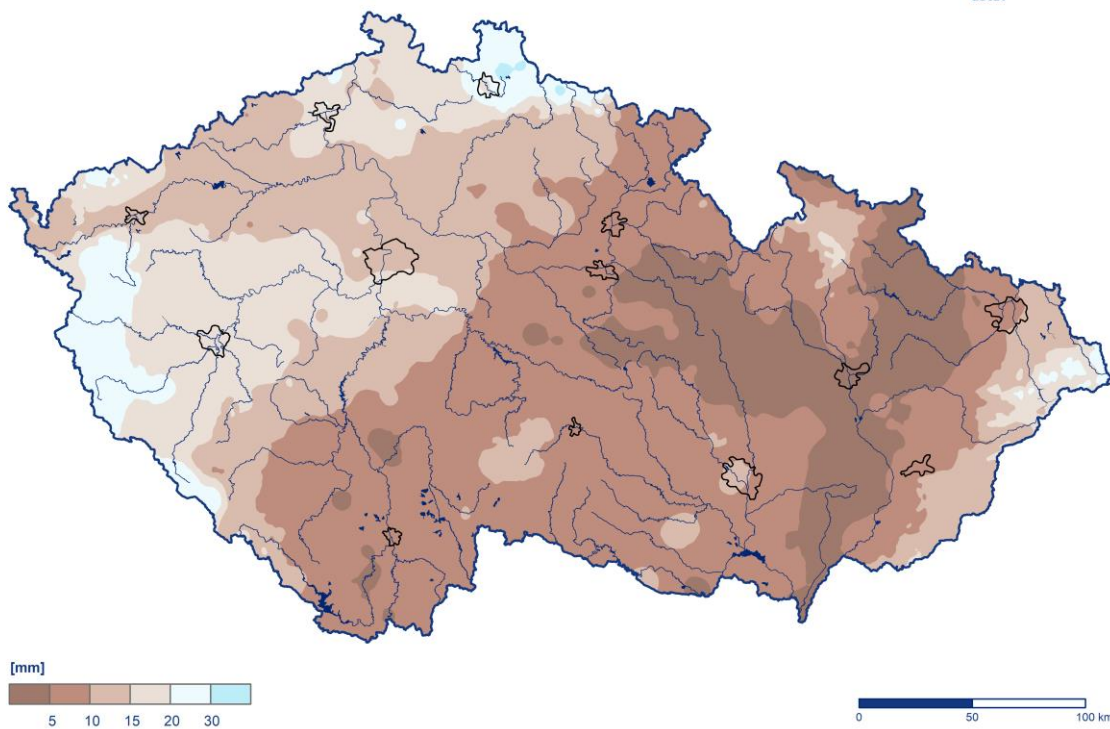
Měsíční srážkové úhrny za únor se na našem území pohybovaly v širokém rozpětí. Více než 30 mm srážek za měsíc únor zaznamenalo pouze několik stanic ve vyšších polohách. Nejvyšší měsíční úhrn srážek naměřily stanice Dvoračky (38 mm), Bílý Potok, Smědava a Bedřichov, Nová louka (33 mm). Na více než 90 stanicích byly měsíční úhrny srážek 5 mm a méně. Většina srážek spadla v několika málo dnech zejména 12. a 13. února, kdy byly srážky převážně sněhové. Na konci měsíce pak byly srážky spíše dešťové. Významnější sněhová pokrývka (více než 20 cm) ležela na koci měsíce pouze v horských polohách.

Nejvyšší denní úhrn srážek v tomto měsíci (13,7 mm) zaznamenala 12. února stanice Mariánské Lázně, vodárna (okres Cheb). Nejvíce nového sněhu (15 cm) napadlo 13. února na stanicích Nové Město pod Smrkem a Hejnice (okres Liberec).

Nejvyšší celkovou výšku sněhové pokrývky naměřila stanice Labská bouda (141 cm) dne 17. února. Na konci měsíce bylo na této stanici 125 cm sněhu.

Měsíční úhrn srážek v únoru 2025

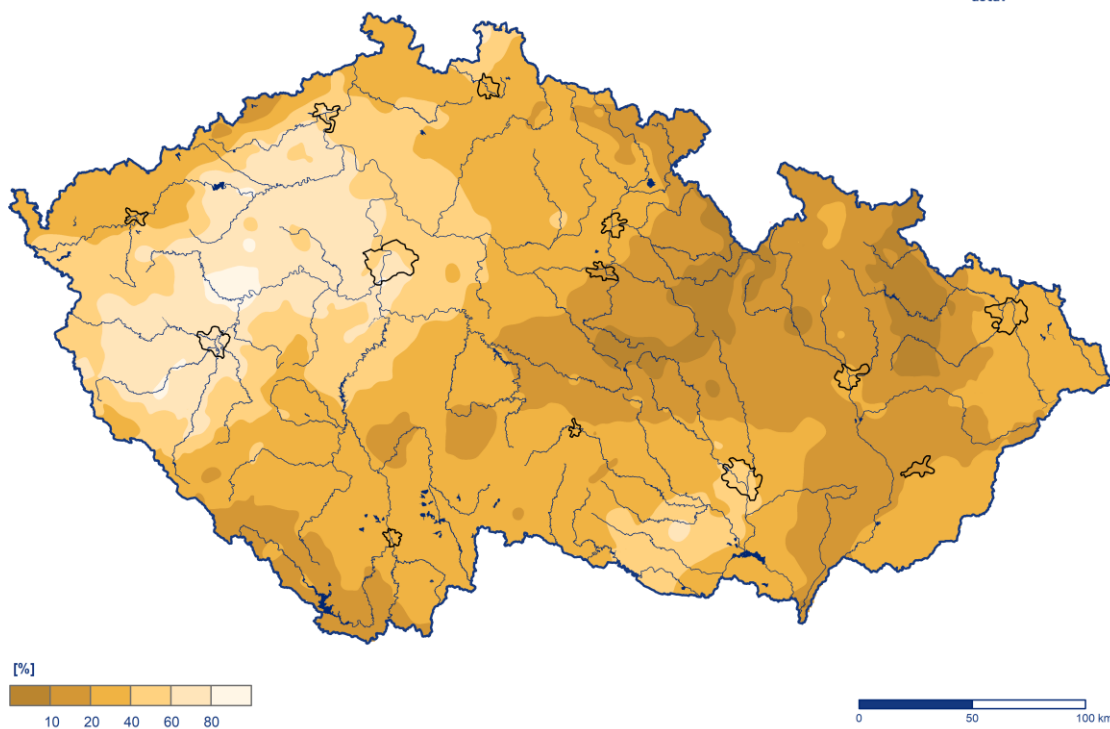
Český  
hydrometeorologický  
ústav



Obr. 2.2.1 Měsíční úhrn srážek na území ČR v únoru 2025

Měsíční úhrn srážek v únoru 2025 v procentech normálu 1991–2020

Český  
hydrometeorologický  
ústav



Obr. 2.2.2 Měsíční úhrn srážek na území ČR v únoru 2025 v procentech normálu 1991–2020

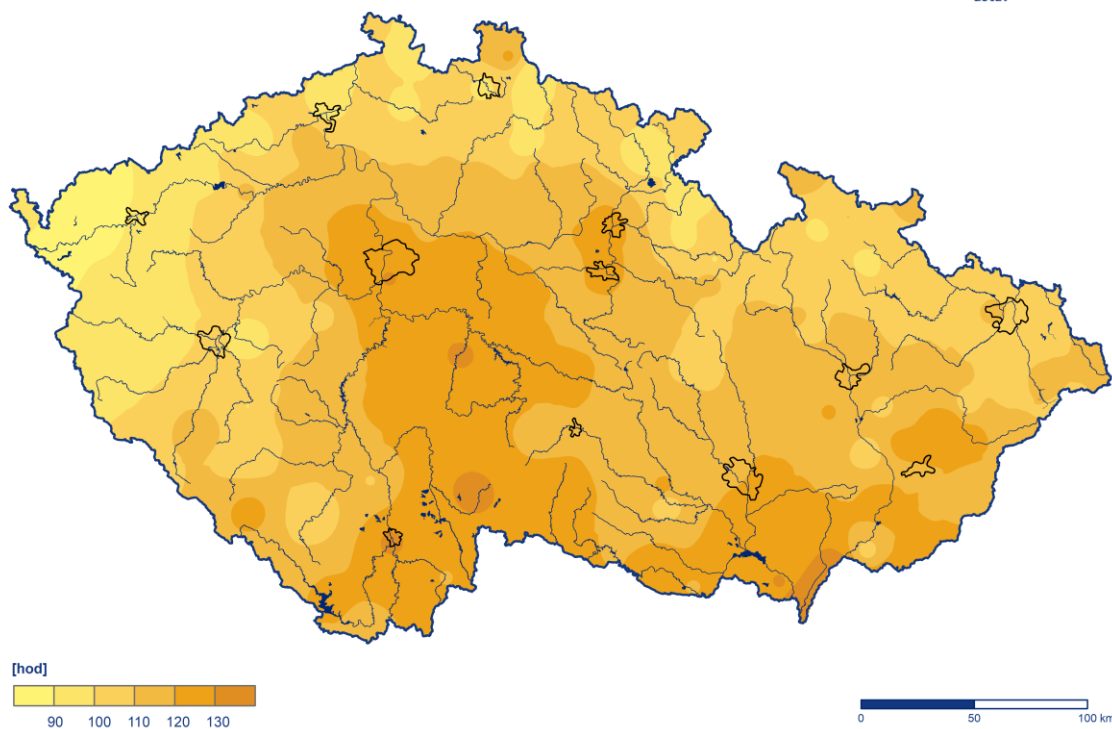


## 2.3 Sluneční svit

Průměrná délka slunečního svitu na území ČR byla tento měsíc 112,4 hodiny, což činí 144 % normálu 1991–2020 (Obr. 2.3.1). Nejvíce hodin slunečního svitu bylo v krajích Jihomoravském (120,3 h), Jihočeském (120,2 h) a v Praze a Středočeském kraji (119,5 h). Naopak nejméně hodin slunečního svitu bylo v krajích Karlovarském (36,7 h), Plzeňském (102,4 h) a Libereckém (102,7 h).

Doba trvání slunečního svitu v únoru 2025

Český  
hydrometeorologický  
ústav



Obr. 2.3.1 Měsíční úhrn doby trvání slunečního svitu na území ČR v únoru 2025

## 3 HYDROLOGICKÁ SITUACE

### 3.1 Povrchové vody

#### Odtokové poměry

Z odtokového hlediska byl únor ve většině povodí převážně podprůměrným měsícem. Nejvíce vody oteklo Odrou (69 %  $Q_{II}$ ) a Dyjí (63 %  $Q_{II}$ ), o něco méně oteklo Labem (56 %  $Q_{II}$ ), Moravou (55 %  $Q_{II}$ ) a Vltavou (54 %  $Q_{II}$ ), nejméně pak Olší (43 %  $Q_{II}$ ). Celkově byly průměrné měsíční průtoky nejčastěji spíše podprůměrné v hodnotách od 30 do 85 %  $Q_{II}$  (Tab. 3.1.1, Obr. 3.1.1, Obr. 3.1.2).

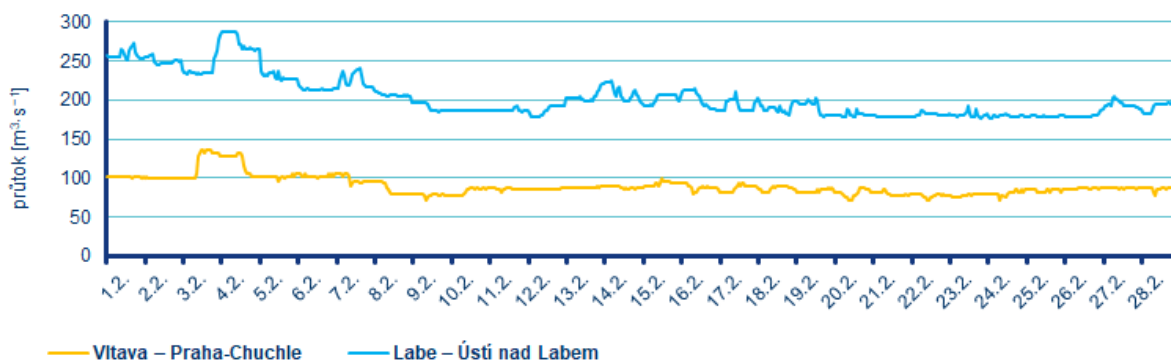
V průběhu měsíce se v rámci celé České republiky vyskytovaly ledové jevy, a to zejména na menších horských vodních tocích.

Tab. 3.1.1 Průměrné měsíční průtoky v závěrových profilech hlavních povodí, únor 2025

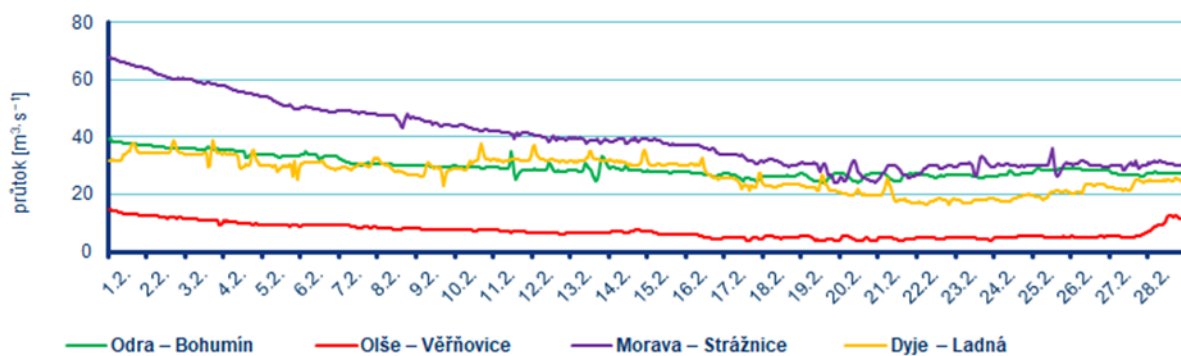
Tok	Profil	$Q_m$ [%]	$Q$ [ $m^3 \cdot s^{-1}$ ]
Vltava	Praha-Chuchle	54	90
Labe	Ústí nad Labem	56	200
Odra	Bohumín	69	30
Olše	Věřňovice	43	7,2
Morava	Strážnice	55	40
Dyje	Břeclav-Ladná	63	27

V porovnání s dlouhodobými únorovými průměry byly průtoky na začátku měsíce většinou podprůměrné až lehce nadprůměrné v rozmezí od 50 do 130 %  $Q_{II}$ . Toky byly převážně na vzestupech, popřípadě byly rozkolísané, s vodnostmi převážně v rozmezí  $Q_{180-30d}$ . V průběhu měsíce byly toky setrvalé nebo na poklesech a průtoky se snižovaly k hodnotám mezi 25 až 95 %  $Q_{II}$  pro tento měsíc s vodnostmi v rozmezí  $Q_{240-60d}$ . V závěru měsíce se průtoky i nadále snižovaly až k hodnotám od 20 do 80 %  $Q_{II}$  s vodnostmi v rozmezí  $Q_{270-120d}$ . V první polovině měsíce byl výskyt toků s indikací hydrologického sucha ( $Q_{364-355d}$ ) ojedinělý, ve druhé polovině měsíce začal jejich počet lehce stoupat.

Odtok z Vltavské kaskády ve Vraném nad Vltavou se v průběhu měsíce v rámci manipulací pohyboval v rozmezí od 40 do 100  $m^3/s$ , přičemž největší odtok byl udržován na začátku měsíce (100  $m^3/s$ , 3. 2.), avšak druhého dne (4. 2.) se snížil o 30  $m^3/s$  na 70  $m^3/s$  a od 7. 2. se udržoval v rozmezí od 40 do 60  $m^3/s$  do konce měsíce.



Obr. 3.1.1 Průběh průtoků v závěrových profilech Vltavy a Labe, únor 2025

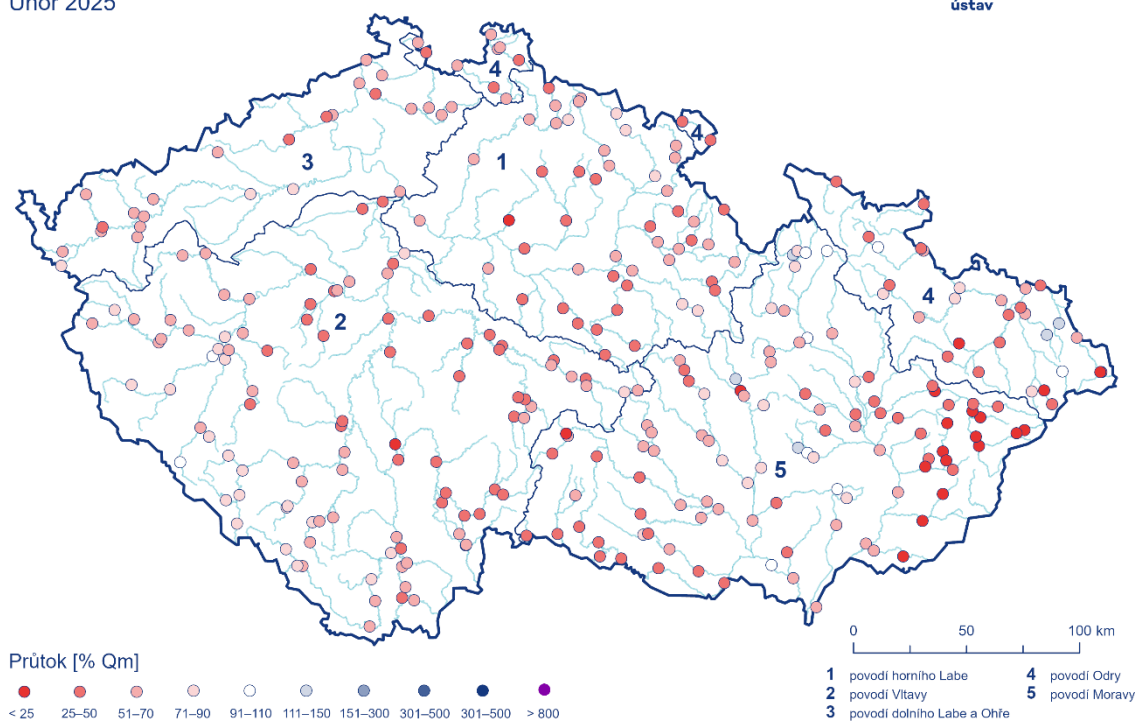


Obr. 3.1.2 Průběh průtoků v závěrových profilech Odry, Olše, Moravy a Dyje, únor 2025

### Průměrné měsíční průtoky

Únor 2025

Český  
hydrometeorologický  
ústav



Obr. 3.1.3 Průměrné měsíční průtoky na území ČR, únor 2025

Tab. 3.1.2 Přehled průměrných, max. a min. průtoků (stavů), únor 2025

Tok	Profil	ØQ	Q <sub>m</sub>	%Q <sub>m</sub>	min. H	min. Q	max. H	max. Q	DD min.	DD max.	LJ
Orlice	Týniště nad Orlicí	13,0	24,0	55	72	7,80	146	24,0	19	1	
Labe	Přelouč	42,0	74,0	57	49	23,0	105	67,0	19	1	
Cidličina	Sány	3,30	7,70	43	37	2,40	71	6,00	22	1	
Jizera	Bakov nad Jizerou	14,0	27,0	53	131	3,10	216	30,0	18	1	
Labe	Kostelec nad Labem	66,0	120	54	397	16,0	422	110	14	6	
Vltava	Vyšší Brod	10,0	15,0	69	62	6,00	96	16,0	24	26	
Mašše	Roudné	2,50	5,00	49	14	1,60	26	3,10	3	14	
Vltava	České Budějovice	17,0	26,0	66	105	13,0	111	25,0	14	27	
Lužnice	Bechyně	9,40	25,0	38	88	3,70	126	16,0	20	1	
Otava	Písek	15,0	23,0	65	41	4,70	88	21,0	20	1	1
Sázava	Nespeky	12,0	25,0	48	44	3,90	85	17,0	20	1	1
Berounka	Plzeň - Bílá Hora	18,0	25,0	74	107	8,70	177	35,0	20	14	1
Berounka	Beroun	29,0	47,0	62	94	17,0	143	48,0	23	15	1
Vltava	Praha – Chuchle	90,0	170	54	50	72,0	70	140	9	3	
Ohře	Karlovy Vary	23,0	39,0	60	56	14,0	97	45,0	18	1	
Ohře	Louny	39,0	52,0	76	220	35,0	234	43,0	13	1	
Labe	Ústí nad Labem	200	360	56	189	180	251	290	20	4	
Bílina	Trmice	3,90	8,00	48	101	3,30	113	4,60	19	2	
Ploučnice	Benešov n. Pl.	5,40	11,0	50	76	2,20	96	9,40	11	19	1
Labe	Děčín	210	380	56	157	180	226	310	19	4	
Odra	Svinov	5,90	15,0	40	104	2,30	133	12,0	19	1	1
Opava	Děhylov	9,90	15,0	68	94	7,40	109	12,0	17	1	1
Ostravice	Ostrava	4,90	11,0	44	60	2,10	99	12,0	19	13	
Odra	Bohumín	30,0	43,0	69	164	24,0	192	39,0	17	1	
Olše	Věřňovice	7,20	17,0	43	68	3,70	95	15,0	19	1	
Morava	Olomouc	25,0	33,0	74	100	11,0	179	45,0	19	1	1
Bečva	Dluhonice	7,20	22,0	34	116	4,60	139	13,0	17	1	1
Morava	Strážnice	40,0	72,0	55	86	8,50	215	68,0	25	1	
Svratka	Židlochovice	11,0	17,0	65	58	5,40	103	22,0	20	1	
Jihlava	Ivančice	6,70	12,0	58	111	3,80	128	8,80	13	1	
Dyje	Ladná	27,0	43,0	63	23	16,0	66	39,0	22	2	

Pozn.: ØQ...Průměrný průtok, Q<sub>m</sub>...Dlouhodobý průměrný průtok příslušného měsíce, % Q<sub>m</sub>...Procenta měsíčního průměru, H...Stav, Q...Průtok, DD...Den v měsíci, SPA...Stupeň povodňové aktivity, ()...Odborný odhad

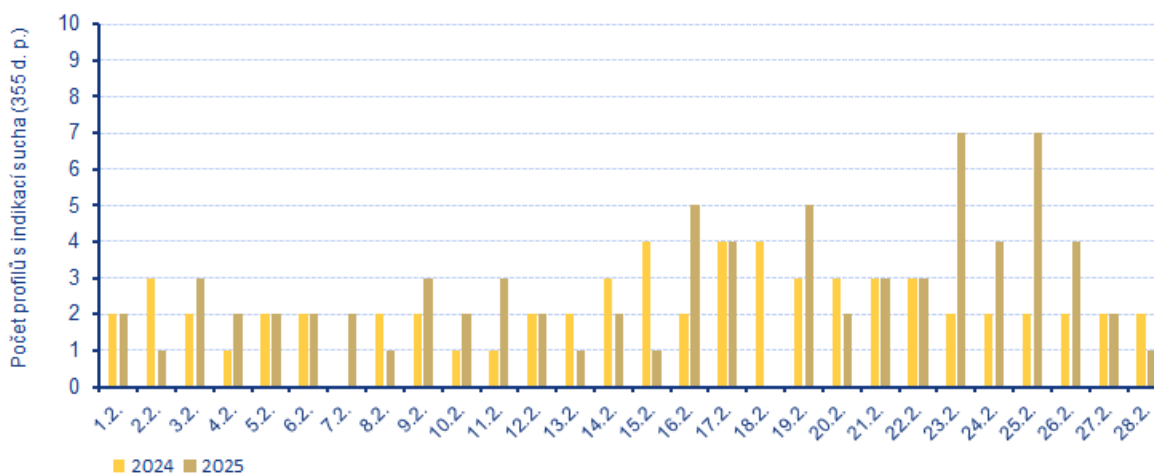
## Sucho na území ČR

Hlásné profily (kategorie A + B) s průtoky menšími než 25 %  $Q_{II}$  se na začátku února vyskytovaly pouze ojediněle, nejvíce však v povodí Moravy. Na začátku druhé dekády měsíce se začal tento počet navyšovat, nejvíce v povodí Moravy, ale také Dyje, méně v povodí Odry a horního Labe. Na přelomu druhé a třetí dekády tento trend pokračoval, kdy počet profilů s průtoky menšími než 25 %  $Q_{II}$  narůstal nejvíce v povodí Odry, horního Labe a dolního Labe a Ohře, ojedinělý výskyt se objevil v povodí Vltavy, naopak se snižoval v povodí Dyje a v povodí Moravy prakticky vymizel z důvodu vyšších teplot a odtávání sněhové pokrývky. Ke konci měsíce opět narostl počet suchých profilů v povodí Moravy, naopak ve všech ostatních povodí těchto profilů ubývalo, (Tab. 3.1.3).

Tab. 3.1.3 Procentuální vývoj počtu hlásných profilů (kategorie A + B) v průběhu února v hlavních povodích s průměrnými týdenními průtoky menšími než 25 %  $Q_{II}$

Povodí	Q < 25 % $Q_m$			
	T6 (3.–9. 2.)	T7 (10.–16. 2.)	T8 (17.–23. 2.)	T9 (24. 2. – 2. 3.)
Horní Labe	2	3	8	5
Vltava	0	0	1	0
Dolní Labe a Ohře	0	0	8	0
Odra	1	4	17	5
Morava po Dyji	7	18	0	20
Dyje	2	8	5	2
Celkem	12	27	39	32

Počet operativních hydrologických profilů s indikací hydrologického sucha ( $Q_{355d}$ ) se v první polovině měsíce pohyboval většinou mezi 1 a 3 profily. Ve druhé polovině měsíce jejich počet stoupal až k průměrně 3 až 4 profilům, (Obr. 3.1.44). V porovnání s loňským hydrologickým suchem byl únor v první dekádě měsíce mírně sušší, ve druhé byl počet suchých profilů srovnatelný a ve třetí dekádě bylo o polovinu více suchých profilů v roce 2025 než v loňském hydrologickém roce.



Obr. 3.1.4 Vývoj počtu operativních hydrologických profilů s indikací hydrologického sucha ( $Q_{355d}$ ) v únoru 2024 a 2025

## Nádrže

U většiny sledovaných nádrží byly vodní hladiny setrvalé nebo byly mírně rozkolísané, popřípadě na poklesech. Celkové změny v zaplnění zásobních prostorů se pohybovaly nejčastěji mezi  $-7$  až  $+2$  %. Největší poklesy byly zaznamenány na nádržích VD Pastviny ( $-17$  %), Souš ( $-23$  %) a Morávka ( $-38$  %), naopak vzestup na VD Slapy ( $+3$  %), Horka ( $+3$  %) a Březová ( $+6$  %). Většina nádrží byla na konci února naplněna minimálně na 60 %. Menší naplnění měly pouze nádrže Rozkoš (42 %), Hněvkovice (59 %) a Brněnská (47 %).

Zásoba vody v nádržích Vltavské kaskády nad dispečerským minimem se v průběhu února snižovala z 228,72 mil. m<sup>3</sup> (k 3. 2.) na 180,82 mil. m<sup>3</sup> (k 24. 2.), na přelomu února a března až k 170,37 mil. m<sup>3</sup> (k 3. 3.).

## Zásoby vody ve sněhové pokrývce

Sněhové zásoby byly do poloviny února setrvalé, k navýšení došlo 12. a 13. 2., kdy se vyskytovalo sněžení i v nižších a středních polohách. K 17. 2. ležel sníh na více než 70 % našeho území. V nižších polohách nejčastěji ve formě poprašku. Nejvíce sněhu leželo nadále v Jizerských horách a Krkonoších. V údolích většinou 30 až 60 cm, na hřebenech Jizerek 70 až 100 cm a na hřebenech Krkonoš 70 až 140 cm. Na ostatních horách leželo většinou od 2 až 3 cm do 20 až 25 cm, ale na hřebenech také mnohem více. Na hřebeni Šumavy leželo 50 až 110 cm, v Krušných horách kolem Klínovce a Fichtelbergu a také na hřebeni Orlických hor 30 až 60 cm, na hřebenech Hrubého Jeseníku, Králického Sněžníku a Rychlebských hor 45 až 95 cm a v Beskydech kolem Lysé hory okolo 50 cm. Ve druhé polovině měsíce se oteplilo a sněhové zásoby se pozvolna snižovaly. V závěru měsíce zůstávala podobná sněhová pokrývka na hřebenech nejvyšších hor, souvislá sněhová pokrývka leží většinou od nadmořské výšky cca 800 m n. m. V Jizerských horách a v Krkonoších leží sníh většinou již od nadmořské výšky 600 m n. m., naopak na Šumavě sníh často leží až od nadmořské výšky cca 1000 m n. m.

Tab. 3.1.4 Zásoba vody ve sněhové pokrývce, únor 2025

	3. 2.	10. 2.	17. 2.	24. 1.	3. 3.
Objem [mld. m <sup>3</sup> ]	0,386	0,377	0,710	0,481	0,323
Odtoková výška [mm]	4,9	4,8	9	6,1	4,1



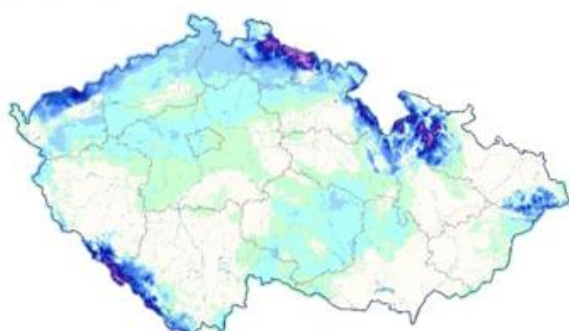
3. 2. 2025



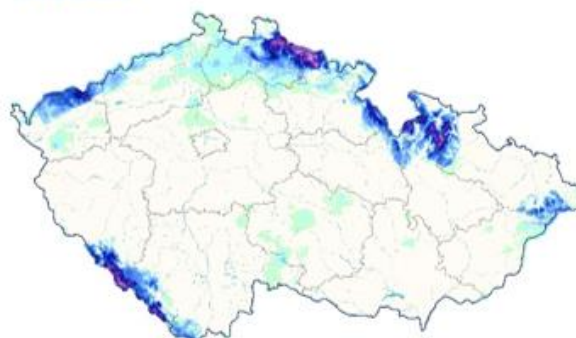
10. 2. 2025



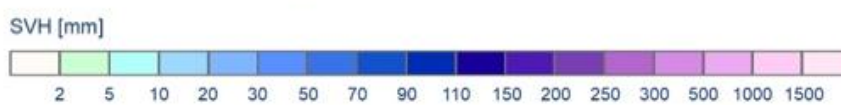
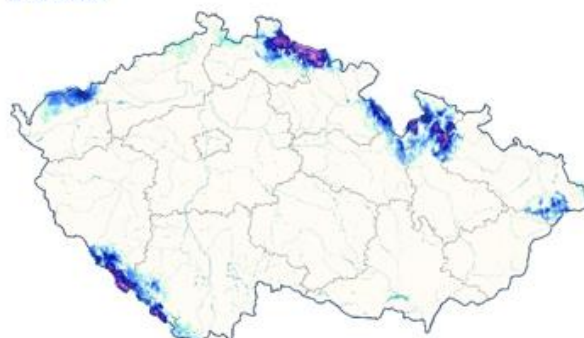
17. 2. 2025



24. 2. 2025



3. 3. 2025



Obr. 3.1.5 Přehled rozložení vodní hodnoty sněhu (SVH) na území ČR, únor 2025

## 3.2 Podzemní vody

### Mělké vrty

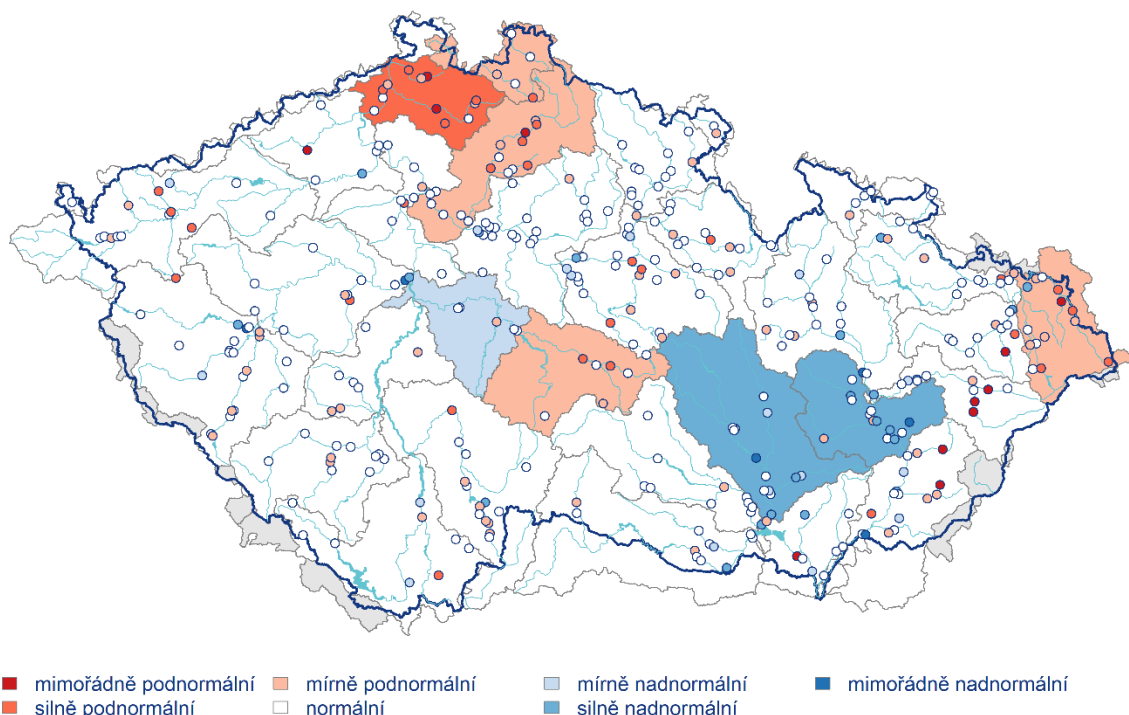
Hladina podzemní vody v mělkých vrtech byla v únoru na území ČR celkově normální (Tab. 3.2.1). Normální stav byl zaznamenán ve všech povodích s výjimkou Lužické Nisy, kde byla hladina mírně podnormální (Tab. 3.2.1). Situace ve skupinách povodí III. řádu se regionálně lišila, silně nadnormální stav byl v povodí střední Moravy a Svatky a Svitavy, naopak v povodí Ploučnice byl stav silně podnormální (Obr. 3.2.1). Největší podíl mělkých vrtů se silně nebo mimořádně podnormální hladinou byl v povodí Ohře a Dolního Labe (30 %) a Horní Odry (19 %). Naopak mělké vrty se silně nebo mimořádně nadnormální hladinou se nejvíce vyskytovaly v povodí Moravy (19 %) a Dyje (13 %, Tab. 3.2.2).

Oproti předcházejícímu měsíci hladina poklesla a stav se zhoršil z mírně nadnormálního na normální. Podíl mělkých vrtů se silně nebo mimořádně nadnormální hladinou (8 %) se zmenšil. Podíl vrtů s normální hladinou se téměř nezměnil (59 %). Podíl vrtů se silně nebo mimořádně podnormální hladinou se zvětšil (11 %, Tab. 3.2.2). Hladina v mělkých vrtech zaznamenala stagnaci až mírný pokles u 71 % mělkých vrtů. K poklesu nebo velkému poklesu hladiny došlo u 16 % vrtů, zatímco vzestup nebo velký vzestup hladiny byl zaznamenán pouze u 3 % vrtů v povodí Ohře a Dolního Labe (Tab. 3.2.3). Nejvýrazněji se stav zhoršil v povodí Moravy ze silně nadnormálního na normální (Tab. 3.2.1), pokles hladiny zde byl zaznamenán u 19 % vrtů. V povodí Horní Odry hladina klesla u 41 % mělkých vrtů, stav ale zůstal normální (Tab. 3.2.3). K poklesu hladiny a zhoršení stavu došlo ve všech povodích (Tab. 3.2.1, Tab. 3.2.3).

Stav hladiny v mělkých vrtech se v únoru meziročně výrazně zhoršil, z mimořádně nadnormálního na normální (Tab. 3.2.1). Meziroční pokles nebo velký pokles hladiny nastal u 81 % mělkých vrtů, zatímco vzestup nebo velký vzestup byl zaznamenán u 2 % mělkých vrtů (Tab. 3.2.4). K nejvýraznějšímu zhoršení stavu z mimořádně nadnormálního na mírně podnormální došlo v povodí Lužické Nisy, zhoršení z mimořádně nadnormálního stavu na normální nastalo v povodí Horního a středního Labe a Moravy (Tab. 3.2.1), hladina zde meziročně poklesla u 82–100 % objektů (Tab. 3.2.4).

## Stav hladiny podzemní vody v mělkých vrtech

Únor 2025


  
Český  
hydrometeorologický  
ústav


Obr. 3.2.1 Stav hladiny podzemní vody v mělkých vrtech v únoru 2025 ve skupinách povodí III. řádu, vztaheno k referenčnímu období 1991–2020

Tab. 3.2.1 Pravděpodobnost překročení úrovně hladiny v mělkých vrtech v dílčích povodích. KP – křivka překročení (%), HLS – Horní a střední Labe, HVL – Horní Vltava, BER – Berounka, DVL – Dolní Vltava, ODL – Ohře a Dolní Labe, HOD – Horní Odra, LNI – Lužická Nisa, MOR – Morava, DYJ – Dyje. Červená barevná škála odpovídá mimořádně, silně a mírně podnormálnímu stavu. Modrá barevná škála představuje mírně, silně, mimořádně nadnormální stav.

Povodí/ Zařazení úrovně hladiny na KP v %	HLS	HVL	BER	DVL	ODL	HOD	LNI	MOR	DYJ	ČR
II 2025	59	59	49	53	73	74	77	41	37	57
I 2025	29	28	37	24	50	28	52	11	19	24
II 2024	2	10	15	9	9	7	3	1	16	3
	<95,100>	<85,95)	<75,85)	(25,75)	(15,25>	(5,15>	<5,0>			

Tab. 3.2.2 Stav hladiny v mělkých vrtech v % počtu objektů

Povodí	Mimořádně podnormální hladina	Silně podnormální hladina	Mírně podnormální hladina	Normální hladina	Mírně nadnormální hladina	Silně nadnormální hladina	Mimořádně nadnormální hladina
Horní a střední Labe	1	9	13	70	4	2	0
Horní Vltava	0	5	25	62	5	2	0
Berounka	0	3	20	67	3	3	3
Dolní Vltava	0	15	15	60	0	5	5
Ohře a Dolní Labe	8	22	17	47	3	3	0
Horní Odra	5	14	20	55	0	7	0
Lužická Nisa	0	14	29	57	0	0	0
Morava	9	2	18	46	7	14	5
Dyje	2	0	9	61	14	11	2
ČR	3	8	17	59	5	6	2

Tab. 3.2.3 Porovnání hladiny v mělkých vrtech s předchozím měsícem v % počtu objektů

Povodí	Velký pokles	Pokles	Stagnace až mírný pokles	Stagnace až mírný vzestup	Vzestup	Velký vzestup
Horní a střední Labe	0	18	74	8	0	0
Horní Vltava	0	8	88	5	0	0
Berounka	0	3	47	50	0	0
Dolní Vltava	0	15	80	5	0	0
Ohře a Dolní Labe	3	8	61	25	0	3
Horní Odra	5	36	52	7	0	0
Lužická Nisa	0	14	71	14	0	0
Morava	5	14	74	7	0	0
Dyje	0	2	86	11	0	0
ČR	2	14	71	13	0	0

Tab. 3.2.4 Porovnání hladiny v mělkých vrtech se stejným měsícem předchozího roku v % počtu objektů

Povodí	Velký pokles	Pokles	Stagnace až mírný pokles	Stagnace až mírný vzestup	Vzestup	Velký vzestup
Horní a střední Labe	79	17	4	0	0	0
Horní Vltava	45	32	18	2	0	2
Berounka	20	43	27	10	0	0
Dolní Vltava	47	42	5	0	0	5
Ohře a Dolní Labe	58	28	6	6	0	3
Horní Odra	59	27	9	2	2	0
Lužická Nisa	100	0	0	0	0	0
Morava	61	21	12	0	2	4
Dyje	14	32	36	11	7	0
ČR	54	27	13	3	1	1

## Prameny

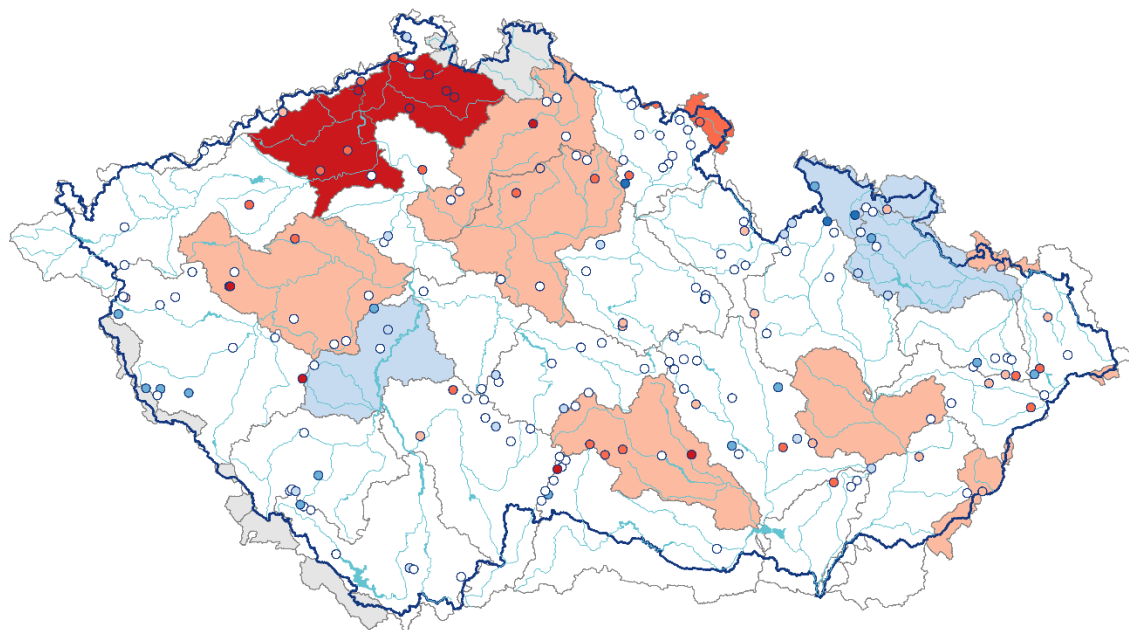
Vydatnost pramenů byla v únoru na území ČR celkově normální. Situace se však regionálně lišila. V povodí Lužické Nisy byla vydatnost silně podnormální a v povodí Ohře a Dolního Labe dokonce mimořádně podnormální. V ostatních povodích byla vydatnost normální (Tab. 3.2.5). Stav ve skupinách povodí III. řádu se rovněž regionálně lišil, nejhorší stav byl v povodí dolní Ohře a Ploučnice, kde byla vydatnost mimořádně podnormální (Obr. 3.2.2). Největší podíl pramenů se silně nebo mimořádně podnormální vydatností byl v povodí Ohře a Dolního Labe (55 %) a Dyje (22 %). Naopak v povodí Horní Odry a Berounky byla vydatnost silně nebo mimořádně nadnormální u 23 % resp., 19 % pramenů (Tab. 3.2.6).

Oproti předcházejícímu měsíci se vydatnost celkově mírně zmenšila, ale zůstala normální. Podíl pramenů se silně nebo mimořádně nadnormální vydatností (9 %) se zmenšil, podíl s normální vydatností (57 %) se nezměnil a se silně nebo mimořádně podnormální vydatností se zvětšil (17 %, Tab. 3.2.6). Stagnaci až mírné zmenšení vydatnosti vykazovalo 59 % pramenů a stagnaci až mírné zvětšení vydatnosti 30 % pramenů. Ke zmenšení nebo velkému zmenšení vydatnosti došlo u 9 % pramenů. Naopak zvětšení nebo velké zvětšení vydatnosti nastalo u 3 % pramenů. K výraznější změně stavu ze silně nadnormálního na normální došlo v povodí Horní Odry, kde se vydatnost zmenšila u 23 % pramenů. K výraznému zhoršení stavu z normálního až na silně podnormální došlo také v povodí Lužické Nisy (Tab. 3.2.5, Tab. 3.2.7).

Stav vydatnosti se v únoru meziročně zhoršil, a to z mimořádně nadnormálního na normální. Meziroční zmenšení nebo velké zmenšení vydatnosti bylo zaznamenáno u 74 % pramenů, zatímco ke zvětšení nebo velkému zvětšení vydatnosti došlo pouze u 4 % pramenů (Tab. 3.2.8). K výraznému zhoršení stavu z mimořádně nadnormálního na normální došlo v povodí Horního a středního Labe, Horní Vltavy, Horní Odry a Moravy, kde se vydatnost meziročně zmenšila u 77–93 % pramenů (Tab. 3.2.8).

## Stav vydatnosti pramenů

Únor 2025


  
Český  
hydrometeorologický  
ústav


■ mimořádně podnormální    ■ mírně podnormální    ■ mírně nadnormální    ■ mimořádně nadnormální  
■ silně podnormální    ○ normální    ■ silně nadnormální

Obr. 3.2.2 Stav vydatnosti pramenů v únoru 2025 ve skupinách povodí III. řádu, vztaheno k referenčnímu období 1991–2020

Tab. 3.2.5 Pravděpodobnost překročení úrovně vydatnosti pramenů v dílčích povodích. KP – křivka překročení (%), HLS – Horní a střední Labe, HVL – Horní Vltava, BER – Berounka, DVL – Dolní Vltava, ODL – Ohře a Dolní Labe, HOD – Horní Odra, LNI – Lužická Nisa, MOR – Morava, DYJ – Dyje. Červená barevná škála odpovídá mimořádně, silně a mírně podnormálnímu stavu. Modrá barevná škála představuje mírně, silně, mimořádně nadnormální stav.

Povodí/ Zařazení úrovně vydatnosti na KP v %	HLS	HVL	BER	DVL	ODL	HOD	LNI	MOR	DYJ	ČR
II 2025	63	42	59	33	99	43	89	60	67	68
I 2025	47	18	40	26	100	11	74	33	37	43
II 2024	4	4	10	6	60	2	46	1	14	5
	<95,100>	<85,95)	<75,85)	(25,75)	(15,25>	(5,15>	<5,0>			



Tab. 3.2.6 Vydatnost pramenů v % počtu objektů

Povodí	Mimořádně podnormální vydatnost	Silně podnormální vydatnost	Mírně podnormální vydatnost	Normální vydatnost	Mírně nadnormální vydatnost	Silně nadnormální vydatnost	Mimořádně nadnormální vydatnost
Horní a střední Labe	2	7	10	73	5	0	2
Horní Vltava	0	5	5	67	14	10	0
Berounka	14	5	5	57	0	19	0
Dolní Vltava	0	0	0	67	27	7	0
Ohře a Dolní Labe	25	30	10	30	5	0	0
Horní Odra	0	9	18	41	9	18	5
Lužická Nisa	0	100	0	0	0	0	0
Morava	0	7	33	47	7	0	7
Dyje	6	16	3	59	6	9	0
ČR	6	11	10	57	8	7	2

Tab. 3.2.7 Porovnání vydatnosti pramenů s předchozím měsícem v % počtu objektů

Povodí	Velké zmenšení	Zmenšení	Stagnace až mírné zmenšení	Stagnace až mírné zvětšení	Zvětšení	Velké zvětšení
Horní a střední Labe	2	5	56	32	5	0
Horní Vltava	0	19	81	0	0	0
Berounka	0	5	62	33	0	0
Dolní Vltava	0	7	53	40	0	0
Ohře a Dolní Labe	0	5	45	40	10	0
Horní Odra	9	14	50	27	0	0
Lužická Nisa	0	0	100	0	0	0
Morava	0	7	53	40	0	0
Dyje	0	0	62	34	3	0
ČR	2	7	59	30	3	0

Tab. 3.2.8 Porovnání vydatnosti pramenů se stejným měsícem předchozího roku v % počtu objektů

Povodí	Velké zmenšení	Zmenšení	Stagnace až mírné zmenšení	Stagnace až mírné zvětšení	Zvětšení	Velké zvětšení
Horní a střední Labe	78	10	10	0	0	2
Horní Vltava	71	10	5	10	5	0
Berounka	43	19	19	14	5	0
Dolní Vltava	27	27	40	7	0	0
Ohře a Dolní Labe	30	35	25	10	0	0
Horní Odra	50	27	5	9	9	0
Lužická Nisa	100	0	0	0	0	0
Morava	80	13	0	0	0	7
Dyje	41	22	16	19	3	0
ČR	55	19	14	9	3	1

## Hluboké vrty

Hladina podzemní vody v hlubokých vrtech<sup>2</sup> byla v únoru mimořádně podnormální v části severočeské křídly (skupina hg rajonů 4B, 4C) a permokarbonu středních a západních Čech (8A, 8B). Silně podnormální byla hladina v části severočeské křídly (4D). Mírně podnormální byla hladina v podkrušnohorských pánvích (1A, 1B), v části jihočeských pánví (2A, 2D) a permokarbonu středních a západních Čech (8C). Silně nadnormální byla hladina v části severočeské křídly (4A), moravského terciéru (3A) a cenomanu východočeské křídly (7A). Silně a mimořádně nadnormální byla stále hladina v částech cenomanu severočeské křídly (6B a 6C), které mají výrazně víceletý režim. V ostatních skupinách hg rajonů byla hladina normální (Obr. 3.2.3).

Oproti minulému měsíci se zhoršil stav podkrušnohorských pánví (1A, 1B), části jihočeských pánví (2A, 2D), permokarbonu středních a západních Čech (8C), východočeské křídly (5A, 5B), permokarbonu východočeské křídly (9B), moravského terciéru (3C) a cenomanu východočeské křídly (7A, 7C). Zlepšil se pouze stav části cenomanu severočeské křídly (6A). Výrazně se zvýšil podíl objektů se silně podnormální (12 %) a s normální (47 %) hladinou, velmi výrazně se naopak snížil podíl objektů se silně nadnormální hladinou (8 %), méně bylo také objektů s mírně podnormální hladinou (7 %) (Tab. 3.2.9).

Pokles nebo velký pokles hladiny, stejně jako vzestup nebo velký vzestup, zaznamenalo pouhé 1 % objektů. Stagnaci až mírný pokles hladiny zaznamenalo 60 % objektů (Tab. 3.2.10).

V meziročním porovnání se stejným měsícem minulého roku se výrazně zhoršil stav hladiny v celé ČR kromě permokarbonu středních a západních Čech, jehož stav je dlouhodobě mírně až mimořádně podnormální. Pokles nebo velký pokles hladiny zaznamenalo 58 % objektů, naopak vzestup nebo velký vzestup hladiny zaznamenala pouhá 2 % objektů (Tab. 3.2.11).

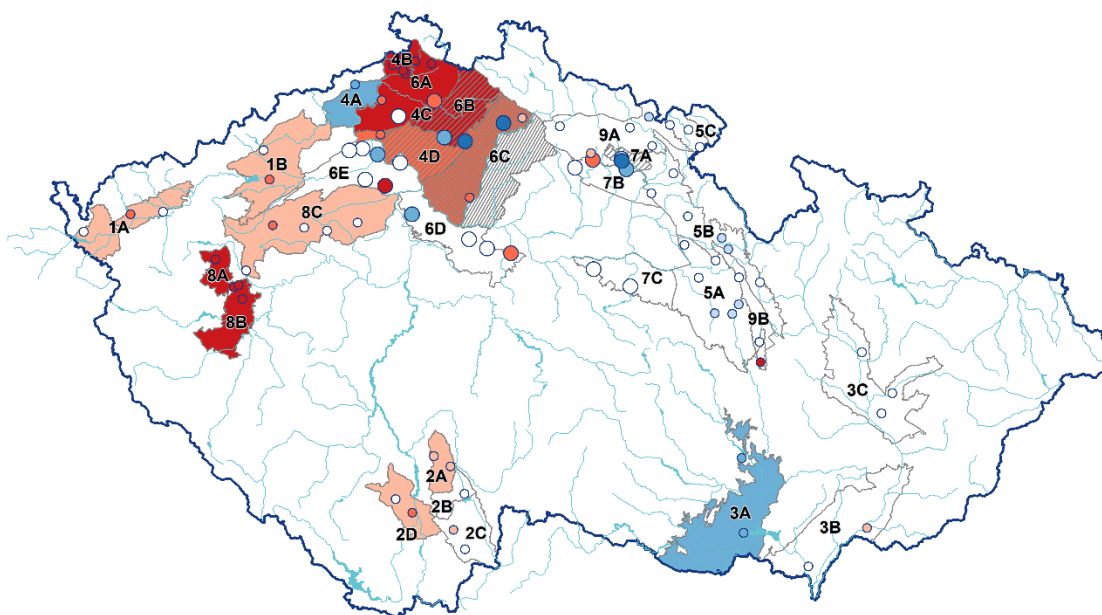
---

<sup>2</sup> Při interpretaci výsledků je třeba brát v úvahu, že hodnocení hlubokých zvodní je prováděno na menším počtu objektů a často na kratších pozorovaných řadách, než vyhodnocování mělkých vrtů a pramenů. Většina hlubokých vrtů má sice pozorování od roku 1991, část z nich však jen od roku 2008.

**Stav hladiny podzemní vody v hlubokých vrtech**

Únor 2025

Český  
hydrometeorologický  
ústav



HGR-základní

- mimořádně podnormální
- silně podnormální
- mírně podnormální
- normální
- mírně nadnormální
- silně nadnormální
- mimořádně nadnormální

HGR-cenoman

- mimořádně podnormální
- silně podnormální
- mírně podnormální
- normální
- mírně nadnormální
- silně nadnormální
- mimořádně nadnormální

Skupina HGR

- 1 - Podkrušnohorské pánve
- 2 - Jihočeské pánve
- 3 - Morava terciér
- 4 - Severočeská křída
- 5 - Východočeská křída
- 6 - Severočeská křída - cenoman
- 7 - Východočeská křída - cenoman
- 8 - Permokarbon stř. a záp. Čech
- 9 - Permokarbon vých. Čech

Vrty

- HGR základní
- HGR cenoman

Obr. 3.2.3 Stav hladiny podzemní vody v hlubokých vrtech v únoru 2025, vztaheno k referenčnímu období 1991–2020

Tab. 3.2.9 Stav hladiny v hlubokých vrtech v % počtu objektů

Povodí	Mimořádně podnormální hladina	Silně podnormální hladina	Mírně podnormální hladina	Normální hladina	Mírně nadnormální hladina	Silně nadnormální hladina	Mimořádně nadnormální hladina
ČR	13	12	7	47	8	8	4

Tab. 3.2.10 Porovnání hladiny v hlubokých vrtech s předchozím měsícem v % počtu objektů

Povodí	Velký pokles	Pokles	Stagnace až mírný pokles	Stagnace až mírný vzestup	Vzestup	Velký vzestup
ČR	1	0	60	37	1	0

Tab. 3.2.11 Porovnání hladiny v hlubokých vrtech se stejným měsícem předchozího roku v % počtu objektů

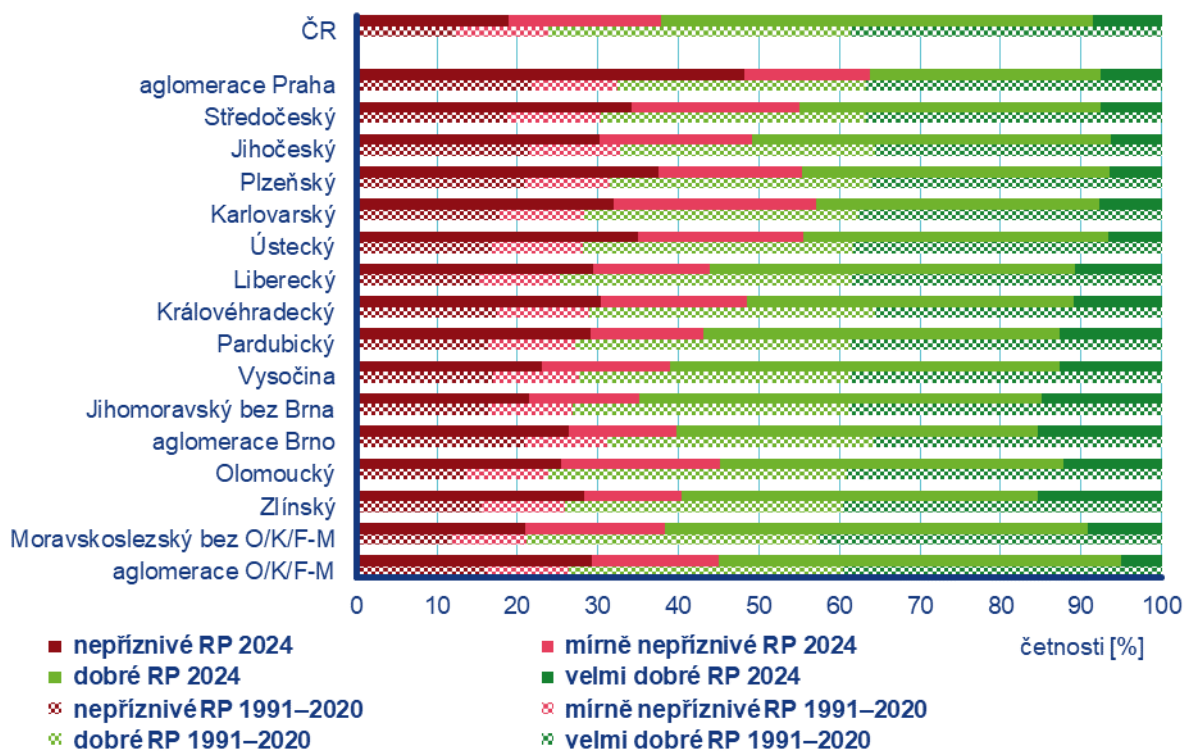
Povodí	Velký pokles	Pokles	Stagnace až mírný pokles	Stagnace až mírný vzestup	Vzestup	Velký vzestup
ČR	34	24	23	17	1	1

## 4 KVALITA OVZDUŠÍ

### 4.1 Rozptylové podmínky

V porovnání s 30letým průměrem 1991–2020 byly v únoru výrazně horší rozptylové podmínky (Obr. 4.1.1). Nejlepší únorové rozptylové podmínky byly zaznamenány v roce 2020, naopak nejhorší v roce 1993. Velmi dobré rozptylové podmínky, vyjádřené pomocí ventilačního indexu<sup>3</sup> pro celou ČR, byly v únoru zaznamenány ve třech dnech. V porovnání s desetiletým průměrem se jedná o zhoršení o 30 %. Dobré rozptylové podmínky byly zaznamenány v 15 dnech, mírně nepříznivé a nepříznivé shodně v pěti dnech.

V porovnání s 30letým průměrem 1991–2020 byly v únoru ve všech regionech zaznamenány výrazně horší rozptylové podmínky. Nejvíce velmi dobrých rozptylových podmínek (16 %) bylo zaznamenáno ve Zlínském kraji, nejméně (5 %) pak v aglomeraci O/K/F-M<sup>4</sup>. Naopak nejvíce nepříznivých rozptylových podmínek (48 %) bylo zaznamenáno v aglomeraci Praha, nejméně (21 %) pak v Moravskoslezském kraji bez aglomerace O/K/F-M.



Obr. 4.1.1 Skladba rozptylových podmínek v regionech České republiky, únor 2025

<sup>3</sup> [http://portal.chmi.cz/files/portal/docs/uoco/mes\\_zpravy/mesprehledy.html#ventindex](http://portal.chmi.cz/files/portal/docs/uoco/mes_zpravy/mesprehledy.html#ventindex)

<sup>4</sup> Aglomerace Ostrava/Karviná/Frýdek-Místek.

## 4.2 Suspendované částice PM<sub>10</sub>

### Překročení 24hod. imisního limitu PM<sub>10</sub> od počátku roku

Hodnota 24hod. imisního limitu PM<sub>10</sub> je 50 µg·m<sup>-3</sup>. Legislativa připouští na měřicí stanici nejvíce 35 překročení hodnoty imisního limitu, při vyšším počtu je imisní limit považován za překročený.

Během února došlo k překročení hodnoty imisního limitu na 113 ze 127 stanic.

24hod. imisní limit PM<sub>10</sub> nebyl do konce února překročen na žádné stanici AIM (Obr. 4.2.1).

### Měsíční chod denních koncentrací PM<sub>10</sub>

Průměrné 24hod. koncentrace PM<sub>10</sub> zprůměrované pro jednotlivé typy stanic překračovaly během února hodnotu imisního limitu (50 µg·m<sup>-3</sup>) i doporučenou hodnotu WHO<sup>5</sup> (45 µg·m<sup>-3</sup>; Obr. 4.2.2)<sup>6</sup>.

Počasí ve střední Evropě v první polovině první únorové dekády ovlivnila rozsáhlá tlaková výše se středem nad střední Evropou. Průměrné koncentrace, s výjimkou venkovských, vystoupaly nad doporučenou hodnotu WHO, dopraví pak i nad hodnotu imisního limitu. V polovině dekády přecházela přes ČR slábnoucí studená fronta, která zapříčinila dočasný pokles koncentrací. Za ní se do Skandinávie rozšířila mohutná tlaková výše a ve stabilním a chladném počasí koncentrace opět vystoupaly nad hodnotu imisního limitu. V první polovině druhé dekády přecházela přes ČR teplá fronta, provázená srážkovou činností a tedy i poklesem koncentrací pod polovinu hodnoty imisního limitu. Počasí v druhé polovině dekády bylo pod vlivem mohutných tlakových výší, kdy ve stabilním a velmi chladném vzduchu koncentrace opět začaly stoupat. Konec měsíce byl ve znamení tlakové níže a s ní spojenou studenou frontou a poklesem koncentrací.

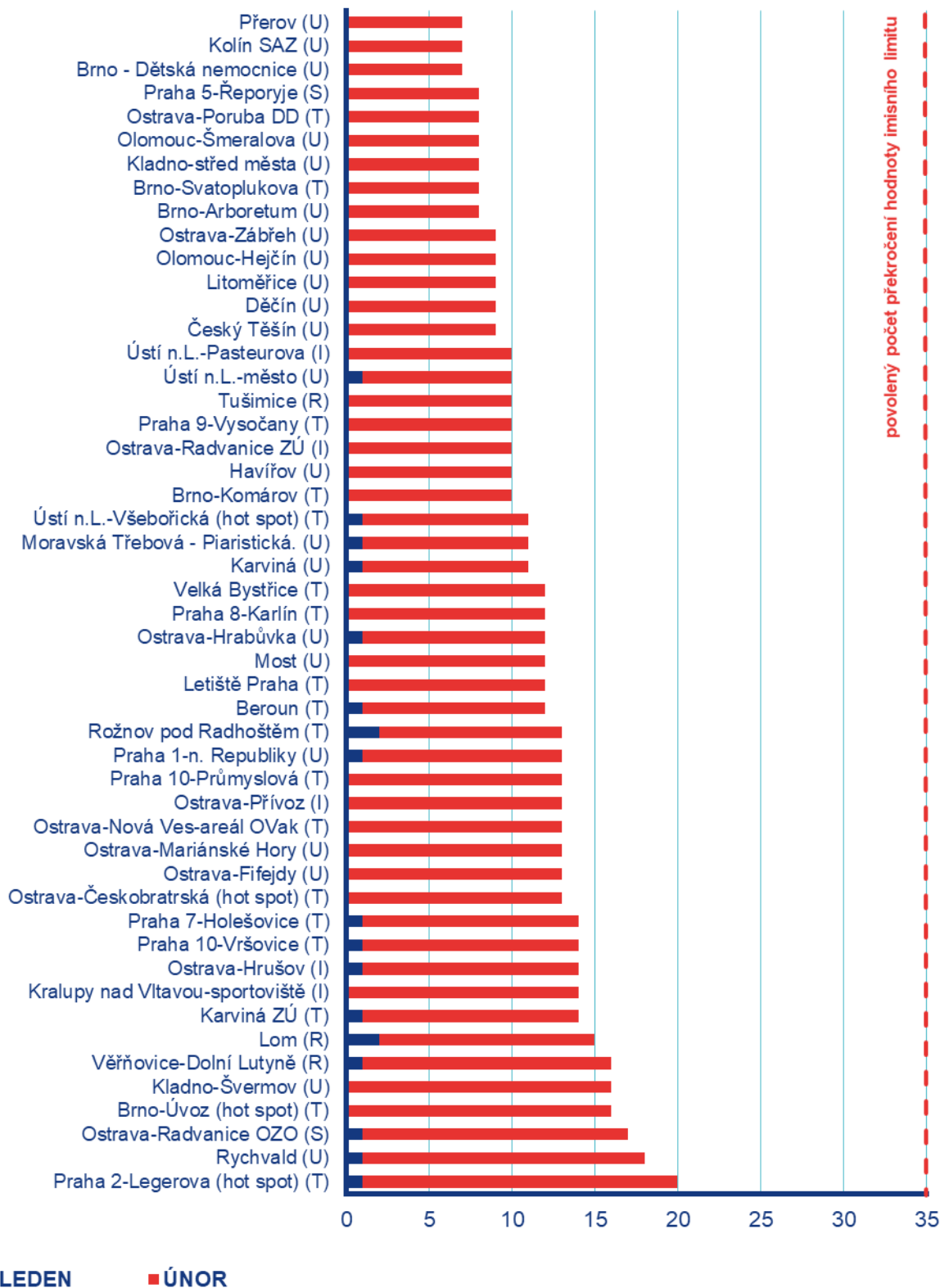
### Průměrné měsíční koncentrace PM<sub>10</sub>

Celorepublikový měsíční průměr koncentrací PM<sub>10</sub> byl v únoru třetí nejvyšší za období 2015–2025 (Obr. 4.2.3). V porovnání s desetiletým průměrem (2015–2024) byly průměrné koncentrace PM<sub>10</sub> o 40 % vyšší.

---

<sup>5</sup> <https://apps.who.int/iris/handle/10665/345329>

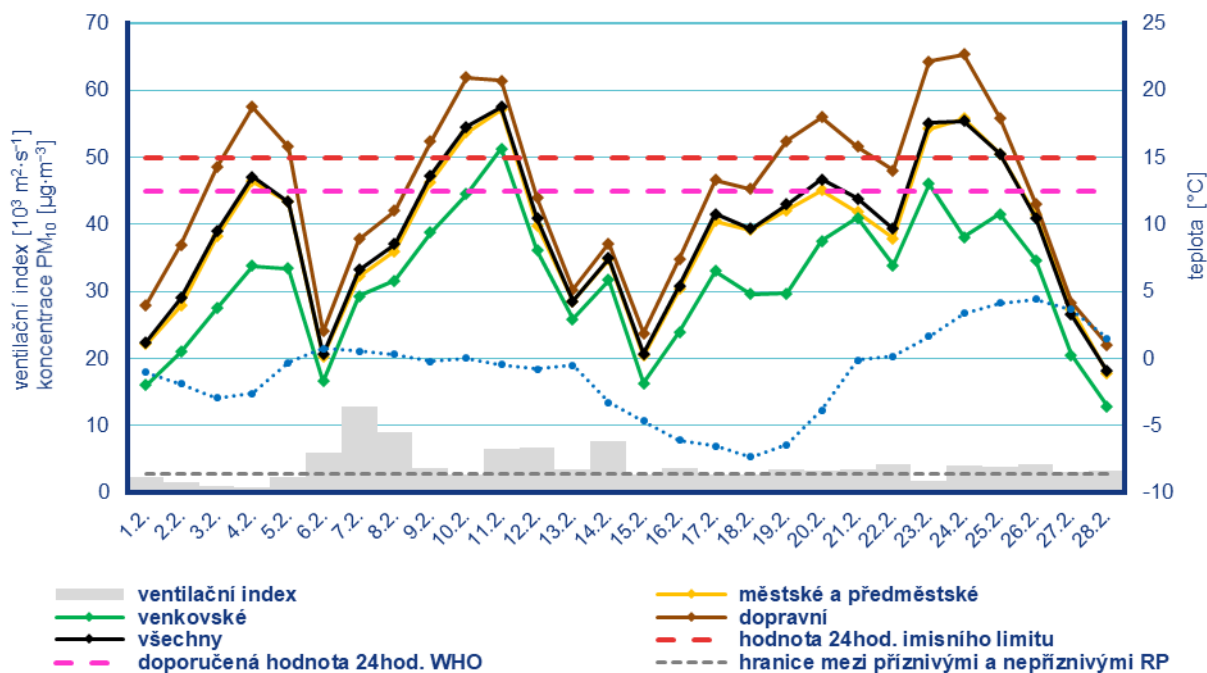
<sup>6</sup> Průběh koncentrací je hodnocen pouze z meteorologického hlediska. Meteorologické a rozptylové podmínky jsou hlavním faktorem ovlivňujícím úroveň koncentrací. Mezi další faktory patří např. množství emisí či rozložení zdrojů emisí.



Poznámka: V grafu je uvedeno 50 nejhorších stanic bez ohledu na úplnost dat.

Obr. 4.2.1 Počet dnů, kdy průměrná denní koncentrace PM<sub>10</sub> překročila hodnotu 24hod. imisního limitu (50 µg·m<sup>-3</sup>) na stanicích AIM, 2025

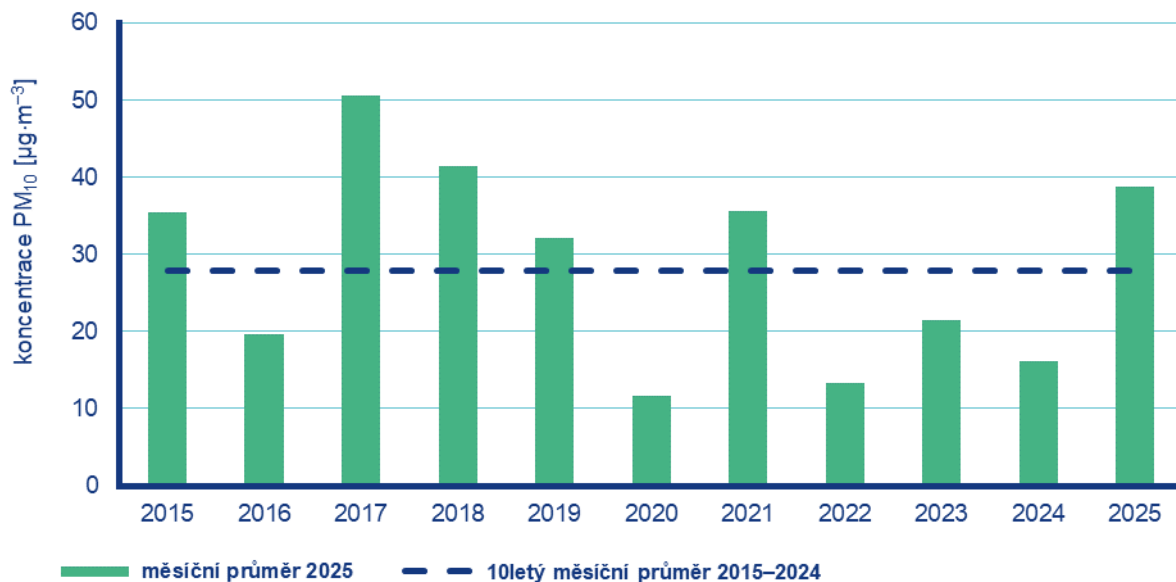




Poznámka: Průmyslové stanice jsou umístěny převážně v Moravskoslezském kraji; z tohoto důvodu nejsou průmyslové stanice uvedeny v grafu celorepublikových průměrů.

DRP = dobré rozptylové podmínky, MNRP = mírně nepříznivé rozptylové podmínky, NRP = nepříznivé rozptylové podmínky

Obr. 4.2.2 Vývoj průměrných denních koncentrací  $\text{PM}_{10}$ , celorepublikového průměru teploty vzduchu a celorepublikového průměru ventilačního indexu (model ALADIN), únor 2025



Obr. 4.2.3 Průměrné měsíční koncentrace  $\text{PM}_{10}$  v České republice, únor 2015–2025

## 4.3 Suspendované částice PM<sub>2,5</sub>

Vzhledem k závažnosti vlivu suspendovaných částic na lidské zdraví jsou v této zprávě hodnoceny i koncentrace suspendovaných částic PM<sub>2,5</sub>. V české legislativě mají koncentrace suspendovaných částic PM<sub>2,5</sub> definován pouze roční imisní limit (20 µg·m<sup>-3</sup>), proto jsou v této zprávě krátkodobé koncentrace porovnávány vzhledem k doporučené hodnotě WHO pro ochranu lidského zdraví (15 µg·m<sup>-3</sup>, průměrná 24hodinová koncentrace).<sup>7</sup>

### Překročení 24hod. doporučené hodnoty WHO pro PM<sub>2,5</sub>

Doporučená hodnota WHO (15 µg·m<sup>-3</sup>) byla v únoru překročena na 98 z 99 stanic (Obr. 4.3.1). Překročení doporučené hodnoty je vyjádřeno procentem dní, kdy byla na dané stanici průměrná denní koncentrace PM<sub>2,5</sub> vyšší než doporučená hodnota WHO.

### Měsíční chod denních koncentrací PM<sub>2,5</sub>

Průměrné denní koncentrace PM<sub>2,5</sub> zprůměrované pro jednotlivé typy stanic se pohybovaly nad doporučenou hodnotou WHO v průběhu celého měsíce (Obr. 4.3.2)<sup>8</sup>. Vývoj denních koncentrací PM<sub>2,5</sub> má obdobný průběh jako denní koncentrace PM<sub>10</sub>. Důvodem je podobná skladba emisních zdrojů obou látek a také významná závislost na meteorologických a rozptylových podmínkách.

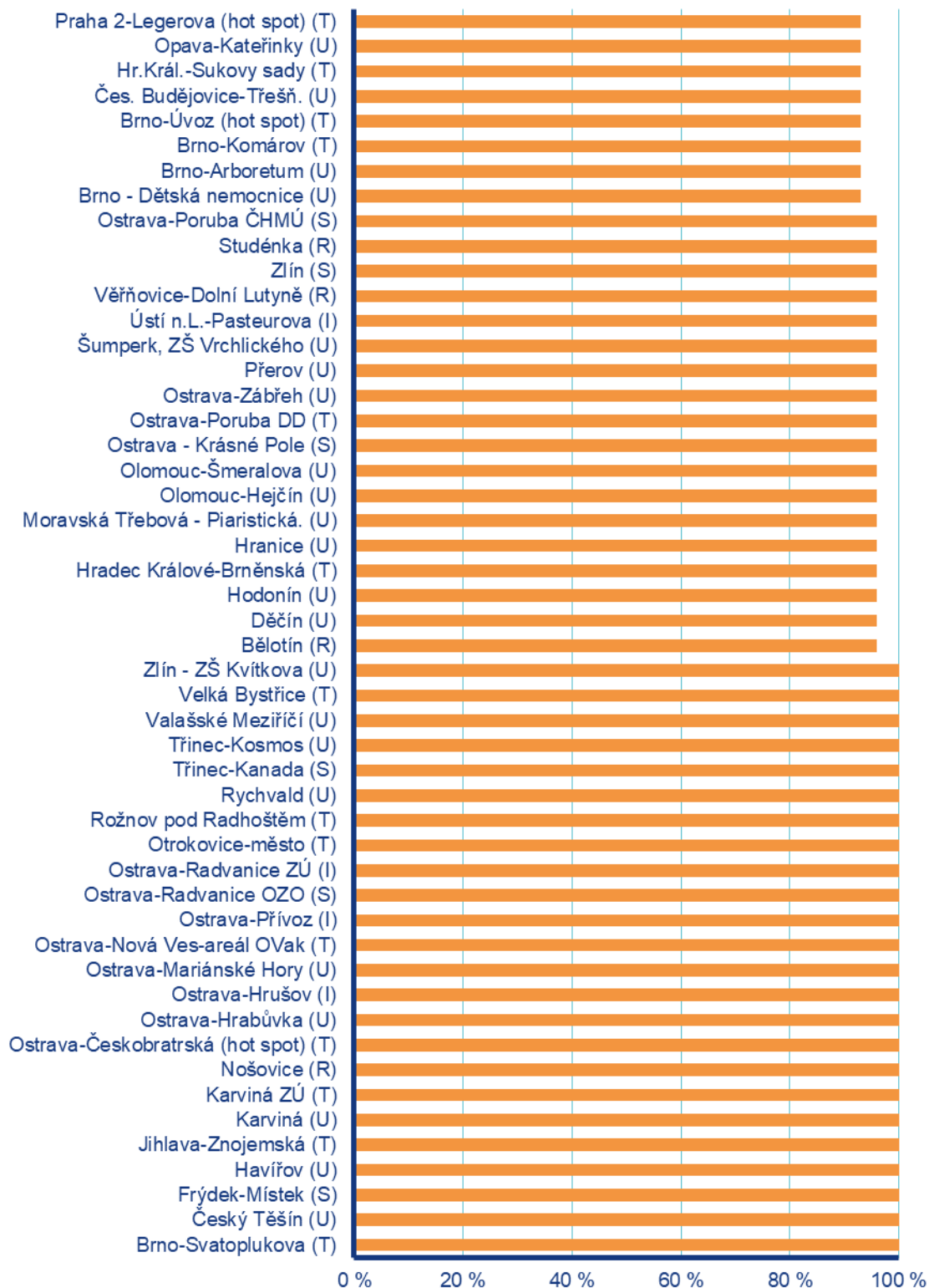
### Průměrné měsíční koncentrace PM<sub>2,5</sub>

Celorepublikový měsíční průměr koncentrací PM<sub>2,5</sub> byl v únoru třetí nejvyšší za období 2015–2025 (Obr. 4.3.3). V porovnání s desetiletým průměrem (2015–2024) byly průměrné koncentrace PM<sub>2,5</sub> o 38 % vyšší.

---

<sup>7</sup> <https://apps.who.int/iris/handle/10665/345329>

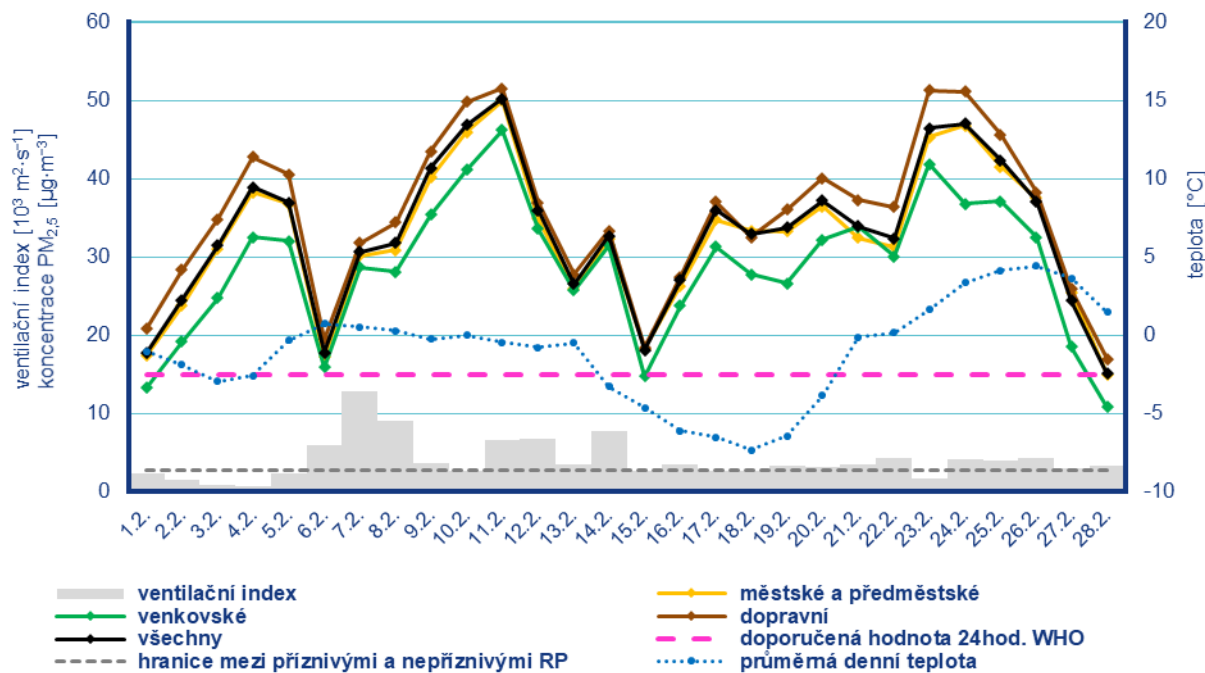
<sup>8</sup> Průběh koncentrací je hodnocen pouze z meteorologického hlediska. Meteorologické a rozptylové podmínky jsou hlavním faktorem ovlivňujícím hodnoty koncentrací. Mezi další faktory patří např. množství emisí či rozložení zdrojů emisí.



■ procento překročení doporučené hodnoty WHO  $15 \mu\text{g}\cdot\text{m}^{-3}$

Poznámka: V grafu je uvedeno 50 nejhorších stanic bez ohledu na úplnost dat.

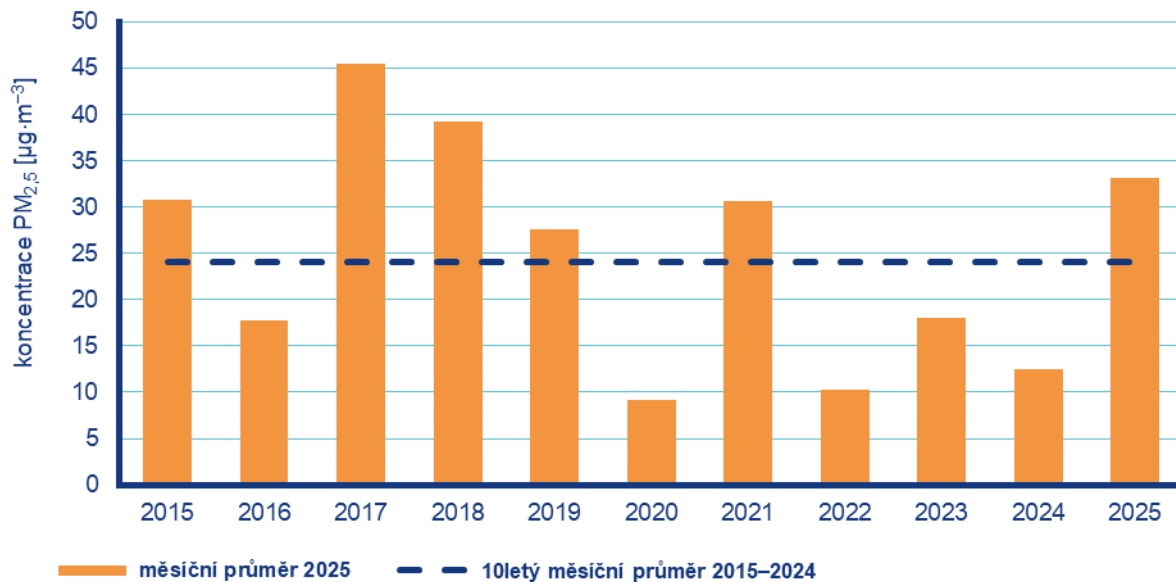
Obr. 4.3.1 Procento dní s překročením doporučené hodnoty WHO ( $15 \mu\text{g}\cdot\text{m}^{-3}$ ) pro průměrnou 24hodinovou koncentraci  $\text{PM}_{2,5}$ , únor 2025



Poznámka: Průmyslové stanice jsou umístěny převážně v Moravskoslezském kraji; z tohoto důvodu nejsou průmyslové stanice uvedeny v grafu celorepublikových průměrů.

DRP = dobré rozptylové podmínky, MNRP = mírně nepříznivé rozptylové podmínky, NRP = nepříznivé rozptylové podmínky

Obr. 4.3.2 Vývoj průměrných denních koncentrací PM<sub>2.5</sub>, celorepublikového průměru teploty vzduchu a celorepublikového průměru ventilačního indexu (model ALADIN), únor 2025



Obr. 4.3.3 Průměrné měsíční koncentrace PM<sub>2.5</sub> v České republice, únor 2015–2025

## 4.4 Ostatní látky

### Oxid dusičitý NO<sub>2</sub>

Hodnota hodinového imisního limitu NO<sub>2</sub> je 200 µg·m<sup>-3</sup>. Legislativa připouští na měřicí stanici nejvíce 18 překročení hodnoty imisního limitu, při vyšším počtu je imisní limit považován za překročený. Vzhledem k závažnosti vlivu NO<sub>2</sub> na lidské zdraví jsou v této zprávě hodnoceny krátkodobé koncentrace nejen vzhledem k imisnímu limitu, ale i vzhledem k doporučené hodnotě WHO pro ochranu lidského zdraví (25 µg·m<sup>-3</sup>, průměrná 24hodinová koncentrace).<sup>9</sup>

Hodnota hodinového imisního limitu pro NO<sub>2</sub> nebyla v únoru překročena na žádné z 93 stanic.

Doporučená hodnota WHO byla v únoru překročena na 77 stanicích z 94 (Obr. 4.4.1). Překročení doporučené hodnoty je vyjádřeno procentem dní, kdy byla na dané stanici průměrná denní koncentrace NO<sub>2</sub> vyšší než doporučená hodnota WHO.

Celorepublikový měsíční průměr koncentrací NO<sub>2</sub> byl v únoru šestý nejvyšší za období 2015–2025. V porovnání s desetiletým průměrem (2015–2024) byly průměrné koncentrace NO<sub>2</sub> o 8 % vyšší.

### Oxid siřičitý SO<sub>2</sub>

Hodnota hodinového imisního limitu SO<sub>2</sub> je 350 µg·m<sup>-3</sup>, hodnota 24hod. imisního limitu je 125 µg·m<sup>-3</sup>. Legislativa připouští na měřicí stanici nejvíce 24, resp. 3 překročení hodnoty imisního limitu, při vyšším počtu je imisní limit považován za překročený.

Hodnoty hodinového ani 24hod. imisního limitu pro SO<sub>2</sub> nebyly v únoru překročeny na žádné z 51 stanic.

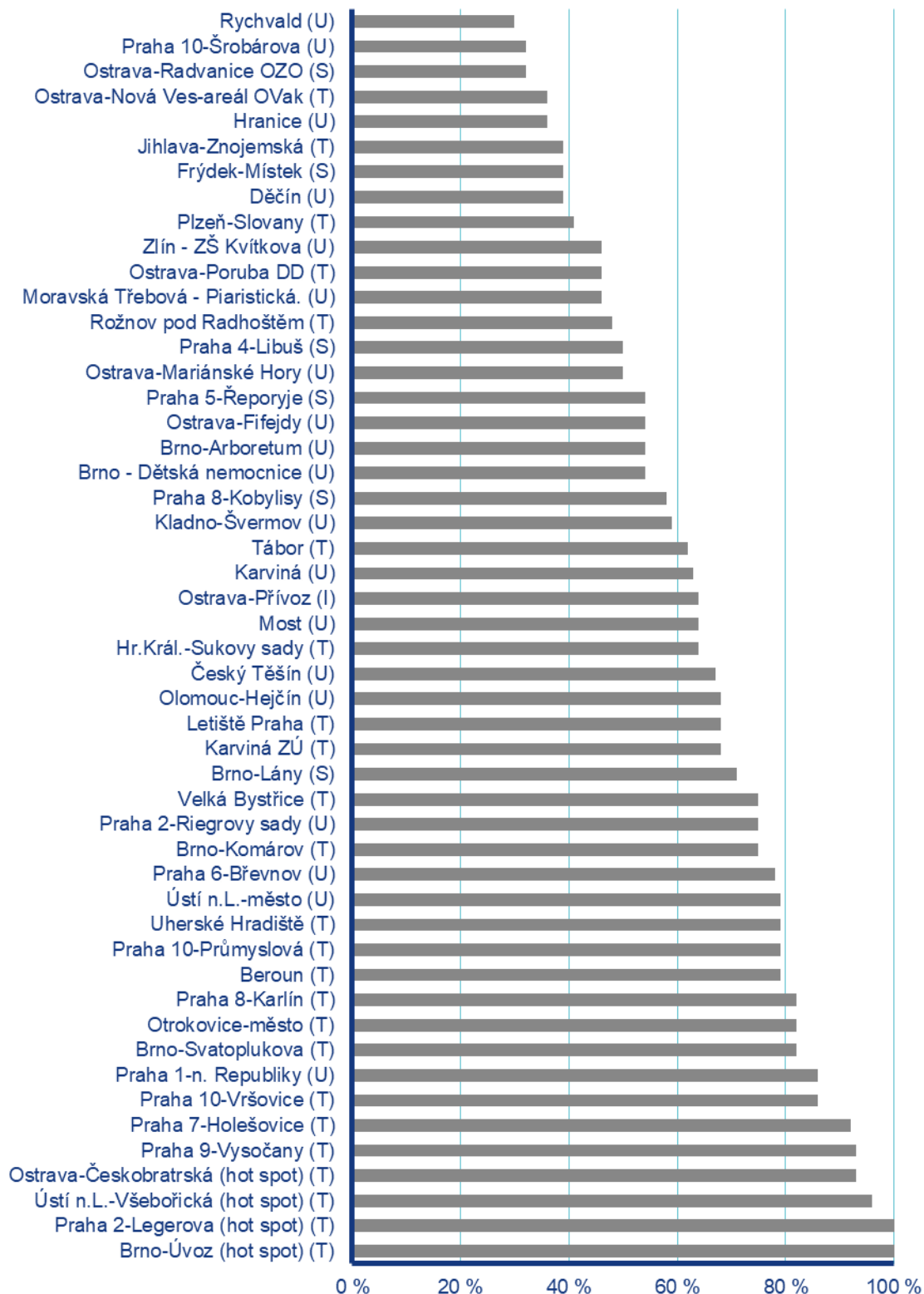
Celorepublikový měsíční průměr koncentrací SO<sub>2</sub> byl v únoru pátý nejnižší za období 2015–2025. V porovnání s desetiletým průměrem (2015–2024) byly průměrné koncentrace SO<sub>2</sub> o 24 % nižší.

### Oxid uhelnatý CO

Denní maximum 8hodinových koncentrací oxidu uhelnatého (CO) nepřekročily v únoru 2025 hodnotu svého imisního limitu.

---

<sup>9</sup> <https://apps.who.int/iris/handle/10665/345329>



■ procento překročení doporučené hodnoty WHO  $25 \mu\text{g}\cdot\text{m}^{-3}$

Poznámka: V grafu je uvedeno 50 nejhorších stanic bez ohledu na úplnost dat.

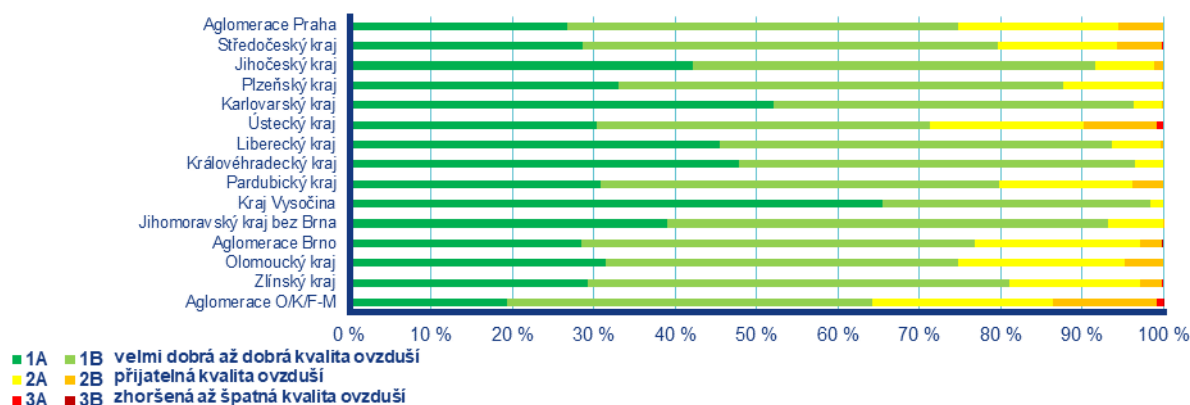
Obr. 4.4.1 Procento dní s překročením doporučené hodnoty WHO ( $25 \mu\text{g}\cdot\text{m}^{-3}$ ) pro průměrnou 24hodinovou koncentraci  $\text{NO}_2$ , únor 2025

## 4.5 Index kvality ovzduší

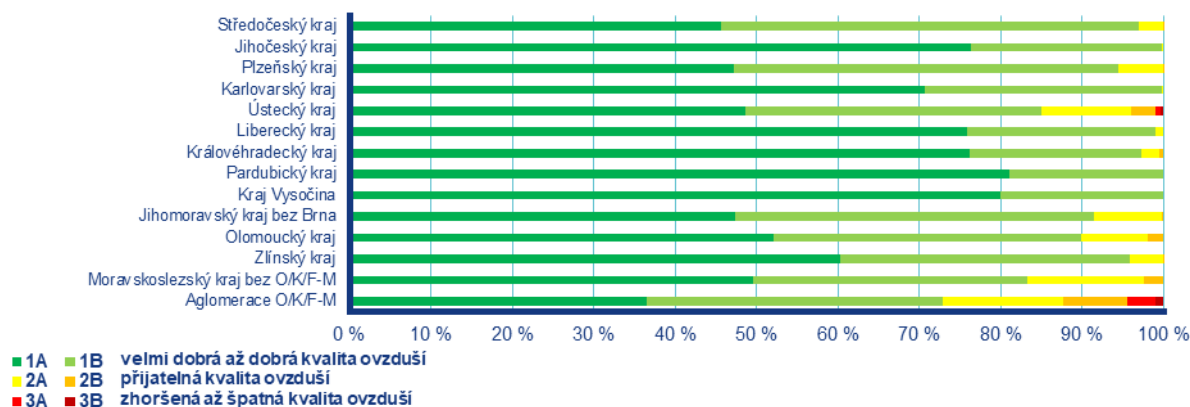
Během února byla na měřicích stanicích převážně velmi dobrá až dobrá kvalita ovzduší<sup>10</sup>.

Na městských a předměstských stanicích se dobrá až dobrá kvalita ovzduší vyskytovala nejčastěji (98 %) v Kraji Vysočina. Nejméně často pak byla zaznamenána v aglomeraci O/K/F-M (64 %; Obr. 4.5.1). Zhoršená až špatná kvalita ovzduší se vyskytovala v krajích Středočeském, Ústeckém, Zlínském a v aglomeracích Brno a O/K/F-M ( $\leq 1$  %).

Na venkovských stanicích<sup>11</sup> se pouze velmi dobrá až dobrá kvalita ovzduší (100 %) vyskytovala v Pardubickém kraji a v Kraji Vysočina. Nejméně často pak byla zaznamenána v aglomeraci O/K/F-M (73 %; Obr. 4.5.2). Zhoršená až špatná kvalita ovzduší se vyskytovala v aglomeraci O/K/F-M (4 %) a v Ústeckém kraji (1 %).



Obr. 4.5.1 Skladba indexu kvality ovzduší na městských a předměstských pozadových stanicích, únor 2025



Obr. 4.5.2 Skladba indexu kvality ovzduší na venkovských pozadových stanicích, únor 2025

<sup>10</sup> [http://portal.chmi.cz/files/portal/docs/uoco/web\\_generator/actual\\_3hour\\_data\\_CZ.html](http://portal.chmi.cz/files/portal/docs/uoco/web_generator/actual_3hour_data_CZ.html)

<sup>11</sup> Pro venkovské stanice není ve všech krajích a aglomeracích k dispozici dostatek dat pro hodnocení.



## 4.6 Smogový a varovný regulační systém

V únoru nebyly vyhlášeny žádné smogové situace.

Prahové hodnoty  $PM_{10}$  pro vyhlášení smogové situace byly překročeny na 15 lokalitách SVRS, nicméně nebyly splněny další zákonné podmínky pro vyhlášení smogové situace. Prahové hodnoty  $NO_2$ ,  $SO_2$  a  $O_3$  pro vyhlášení smogové situace či regulace/varování a prahové hodnoty  $PM_{10}$  pro vyhlášení regulace nebyly překročeny na žádné lokalitě SVRS.

## **Kontakty**

**Mgr. Josef Hanzlík**, e-mail: [josef.hanzlik@chmi.cz](mailto:josef.hanzlik@chmi.cz)  
vedoucí oddělení Operativní služby  
tel.: 244 032 761

**RNDr. Lenka Crhová, Ph.D.**, e-mail: [lenka.crhova@chmi.cz](mailto:lenka.crhova@chmi.cz)  
vedoucí oddělení Všeobecné klimatologie  
tel.: 244 032 250

**RNDr. Radek Čekal, Ph.D.**, e-mail: [radek.cekal@chmi.cz](mailto:radek.cekal@chmi.cz)  
vedoucí oddělení Hydrologických předpovědí  
tel.: 244 032 356

**Dr. Ing. Martin Možný**, e-mail: [martin.mozny@chmi.cz](mailto:martin.mozny@chmi.cz)  
vedoucí oddělení Biometeorologických aplikací  
tel.: 244 032 206

**Ing. Václav Novák**, e-mail: [vaclav.novak@chmi.cz](mailto:vaclav.novak@chmi.cz)  
Vedoucí oddělení Informační systém kvality ovzduší (hodnocení kvality ovzduší)  
tel.: 244 032 402

**Mgr. Ondřej Vlček**, e-mail: [ondrej.vlcek@chmi.cz](mailto:ondrej.vlcek@chmi.cz)  
Vedoucí oddělení Modelování a expertíz (SVRS)  
tel.: 244 032 488

## **Tiskové a informační oddělení**

**MgA. Aneta Beránková**  
e-mail [aneta.berankova@chmi.cz](mailto:aneta.berankova@chmi.cz), [info@chmi.cz](mailto:info@chmi.cz)  
tel.: 244 032 800, 735 794 383  
[www.chmi.cz](http://www.chmi.cz)